

KAISERL. AKADEMIE DER WISSENSCHAFTEN IN WIEN.

MITTEILUNGEN

DER

ERDBEBEN-KOMMISSION

DER KAISERLICHEN

AKADEMIE DER WISSENSCHAFTEN IN WIEN.

NEUE FOLGE.

N^{o.} XX.

ERDBEBENSTÖRUNGEN ZU TRIEST,

BEOBACHTET AM REBEUR-EHLERT'SCHEN HORIZONTALPENDEL IM
JAHRE 1902

VON

EDUARD MAZELLE,

REFERENT DER ERDBEBEN-KOMMISSION.

—
MIT 1 TEXTFIGUR.
—

WIEN, 1903.

AUS DER KAISERLICH-KÖNIGLICHEN HOF- UND STAATSDRUCKEREI.

IN KOMMISSION BEI KARL GEROLD'S SOHN,
BUCHHÄNDLER DER KAISERLICHEN AKADEMIE DER WISSENSCHAFTEN.

Die »Mitteilungen der Erdbeben-Kommission« erschienen bisher in den Sitzungsberichten der mathem.-naturw. Klasse, Abteilung I. Von nun an werden sie als besondere Ausgabe veröffentlicht werden.

Bisher sind folgende Nummern der »Mitteilungen« ausgegeben worden:

- I. Bericht über die Organisation der Erdbeben-Beobachtung nebst Mitteilungen über während des Jahres 1896 erfolgte Erdbeben, zusammengestellt von Edmund v. Mojsisovics (Sitz. Ber., Bd. 106 [1897], Abt. I, Heft II) — K 60 h.
- II. Bericht über das Erdbeben von Brüx am 3. November 1896, von Friedrich Becke (Sitz. Ber., Bd. 106 [1897], Abt. I, Heft II) — K 50 h.
- III. Bericht über das Erdbeben vom 5. Jänner 1897 im südlichen Böhmerwalde, von Friedrich Becke (Sitz. Ber., Bd. 106 [1897], Abt. I, Heft III) — K 40 h.
- IV. Bericht über die im Triester Gebiete beobachteten Erdbeben am 15. Juli, 3. August und 21. September 1897, von Eduard Mazelle (Sitz. Ber., Bd. 106 [1897], Abt. I, Heft IX) — K 40 h.
- V. Allgemeiner Bericht und Chronik der im Jahre 1897 innerhalb des Beobachtungsgebietes erfolgten Erdbeben, zusammengestellt von Edmund v. Mojsisovics (Sitz. Ber., Bd. 107 [1898], Abt. I, Heft V) 3 K 40 h.
- VI. Die Erdschütterungen Laibachs in den Jahren 1851 bis 1886, vorwiegend nach den handschriftlichen Aufzeichnungen K. Deschmanns, von Ferdinand Seidl (Sitz. Ber., Bd. 107 [1898], Abt. I, Heft VI) — K 50 h.
- VII. Verhalten der Karlsbader Thermen während des voigtländisch-westböhmisches Erdbebens im Oktober—November 1897, von Josef Knett (Sitz. Ber., Bd. 107 [1898], Abt. I, Heft VI) 2 K 60 h.
- VIII. Bericht über das Graslitzer Erdbeben vom 24. Oktober bis 25. November 1897, von Friedrich Becke (Sitz. Ber., Bd. 107 [1898], Abt. I, Heft VII) 5 K 40 h.
- IX. Bericht über die unterirdische Detonation von Melnik in Böhmen vom 8. April 1898, von Johann N. Woldfich (Sitz. Ber., Bd. 107 [1898], Abt. I Heft X) — K 90 h.
- X. Allgemeiner Bericht und Chronik der im Jahre 1898 innerhalb des Beobachtungsgebietes erfolgten Erdbeben, zusammengestellt von Edmund v. Mojsisovics (Sitz. Ber., Bd. 108 [1899], Abt. I, Heft. IV) 3 K 20 h.
- XI. Die Einrichtung der seismischen Station in Triest und die vom Horizontalpendel aufgezeichneten Erdbebenstörungen von Ende August 1898 bis Ende Februar 1899, von Eduard Mazelle (Sitz. Ber., Bd. 108 [1899], Abt. I, Heft V) 1 K — h.
- XII. Übersicht der Laibacher Osterbebenperiode für die Zeit vom 16. April 1895 bis Ende Dezember 1898, von Ferdinand Seidl (Sitz. Ber., Bd. 108 [1899], Abt. I, Heft V) — K 70 h.
- XIII. Bericht über das obersteierische Beben vom 27. November 1898, von Rudolf Hoernes (Sitz. Ber., Bd. 108 [1899], Abt. I, Heft V) 1 K 10 h.
- XIV. Bericht über die obersteierischen Beben des ersten Halbjahres 1899 (zumal über die Erschütterungen vom 1., 7. und 29. April), von Rudolf Hoernes (Sitz. Ber., Bd. 108 [1899], Abt. I, Heft VIII) 2 K 10 h.
- XV. Bericht über Erdbebenbeobachtungen in Kremsmünster, von Franz Schwab (Sitz. Ber., Bd. 109 [1900], Abt. I, Heft II) 1 K 10 h.
- XVI. Bericht über das niederösterreichische Beben vom 11. Juni 1899, von F. Nöe (Sitz. Ber., Bd. 109 [1900], Abt. I, Heft II) — K 60 h.

- XVII. Erdbebenstörungen zu Triest, beobachtet am Rebeur-Ehlerl'schen Horizontalpendel vom 1. März bis Ende Dezember 1899, von Eduard Mazelle (Sitz. Ber., Bd. 109 [1900], Abt. I, Heft II) — K 90 h.
- XVIII. Allgemeiner Bericht und Chronik der im Jahre 1899 innerhalb des Beobachtungsgebietes erfolgten Erdbeben, zusammengestellt von Edmund v. Mojsisovics (Sitz. Ber., Bd. 109 [1900], Abt. I, Heft III) 3 K 30 h.
- XIX. Die tägliche periodische Schwankung des Erdbodens nach den Aufzeichnungen eines dreifachen Horizontalpendels zu Triest, von Eduard Mazelle (Sitz. Ber., Bd. 109 [1900], Abt. I, Heft VII) 3 K 20 h.
- XX. Über die Beziehungen zwischen Erdbeben und Detonationen, von Josef Knett (Sitz. Ber., Bd. 109 [1900], Abt. I, Heft IX) — K 80 h.
- XXI. Bericht über das Detonationsphänomen im Duppauer Gebirge am 14. August 1899, von Josef Knett (Sitz. Ber., Bd. 109 [1900], Abt. I., Heft IX) . . . 1 K — h.

Neue Folge.

- I. Bericht über die Erdbebenbeobachtungen in Lemberg, von W. Láska 1 K 90 h.
- II. Allgemeiner Bericht und Chronik der im Jahre 1900 im Beobachtungsgebiete eingetretenen Erdbeben, von Edmund v. Mojsisovics 2 K 30 h.
- III. Bericht über die seismischen Ereignisse des Jahres 1900 in den deutschen Gebieten Böhmens, von V. Uhlig 2 K 50 h.
- IV. Bericht über die Erdbebenbeobachtungen in Kremsmünster im Jahre 1900, von P. Franz Schwab — K 60 h.
- V. Erdbebenstörungen zu Triest, beobachtet am Rebeur-Ehlerl'schen Horizontalpendel im Jahre 1900, von Eduard Mazelle 1 K — h.
- VI. Das nordostböhmisches Erdbeben vom 10. Jänner 1901, von J. N. Woldřich 1 K 60 h.
- VII. Erdbeben und Stoßlinien Steiermarks, von R. Hoernes 2 K 10 h.
- VIII. Die Erdbeben Polens. Des historischen Teiles I. Abteilung, von W. Láska — K 80 h.
- IX. Bericht über die Erdbeben-Beobachtungen in Lemberg während des Jahres 1901, von Prof. Dr. W. Láska 1 K 10 h.
- X. Allgemeiner Bericht und Chronik der im Jahre 1901 innerhalb des Beobachtungsgebietes erfolgten Erdbeben von Edmund v. Mojsisovics 1 K 10 h.
- XI. Erdbebenstörungen zu Triest, beobachtet am Rebeur-Ehlerl'schen Horizontalpendel im Jahre 1901, nebst einem Anhang über die Aufstellung des Vicentini'schen Mikroseismographen, von Eduard Mazelle 1 K 20 h.
- XII. Bericht über die Erdbebenbeobachtungen in Kremsmünster im Jahre 1901, von Prof. P. Franz Schwab — K 40 h.
- XIII. Das Erdbeben von Saloniki am 5. Juli 1902 und der Zusammenhang der makedonischen Beben mit den tektonischen Vorgängen in der Rhodopemasse, von R. Hoernes 2 K — h.
- XIV. Über die Berechnung der Fernbeben, von Prof. Dr. W. Láska . . . — K 30 h.
- XV. Die mikroseismische Pendelunruhe und ihr Zusammenhang mit Wind und Luftdruck, von Eduard Mazelle 2 K 60 h.
- XVI. Vorläufiger Bericht über das erzgebirgische Schwarmbeben vom 13. Februar bis 25. März 1903, mit einem Anhang über die Nacherschütterungen bis Anfang Mai, von J. Knett — K 80 h.
- XVII. Das Erdbeben von Sinj am 2. Juli 1898, von Adolf Faidiga 2 K 90 h.
- XVIII. Das Erdbeben am Böhmischem Pfahl, von J. Knett — K 80 h.
- XIX. Allgemeiner Bericht und Chronik der im Jahre 1902 im Beobachtungsgebiete eingetretenen Erdbeben, von Edmund v. Mojsisovics. (Mit einem Anhang: Bericht über die Aufstellung zweier Seismographen in Příbram, von Dr. Hans Benndorf.) 2 K 60 h.

Erdbebenstörungen zu Triest,

beobachtet am Rebur-Ehler'schen Horizontalpendel im
Jahre 1902

von

Eduard Mazelle,

Referent der Erdbeben-Kommission der kaiserl. Akademie der Wissenschaften.

(Mit 1 Textfigur.)

(Vorgelegt in der Sitzung am 2. Juli 1903.)

Die hier vorliegenden Erdbebenstörungen des Jahres 1902 bilden die Fortsetzung der in den Mitteilungen¹ der Erdbeben-Kommission der kaiserl. Akademie der Wissenschaften in Wien seit Ende August 1898 bereits veröffentlichten Ergebnisse aus den Aufzeichnungen des am k. k. astronomisch-meteorologischen Observatorium zu Triest aufgestellten photographisch registrierenden Horizontalpendels.

Die im Jahre 1902 vorgenommenen täglichen Ablesungen des Psychrometers ergeben ähnliche Verhältnisse wie in den vorangehenden Jahren.

Als Fortsetzung der in den früheren Mitteilungen veröffentlichten Temperaturtabellen folgen hier die Ablesungen für jeden fünften Tag.

¹ Ed. Mazelle, Mitteilungen der Erdbeben-Kommission Nr. XI, XVII, XIX, wie auch V, XI, XV neue Folge.

Temperaturen im Horizontalpendel-Raume.

Ablesung 12^h mittags.

1902, Jänner	1...12·4	1902, Juni	5...15·2
	6...12·2		10...15·8
	11...11·9		15...15·8
	16...11·2		20...16·0
	21...11·2		25...16·4
	26...11·1		30...16·8
	31...10·2		
		Juli	5...17·5
Februar	5...10·0		10...18·1
	10...10·4		15...18·3
	15...10·6		20...19·0
	20...10·2		25...19·1
	25...10·4		30...19·2
		August	4...19·4
März	2...10·8		9...19·8
	7...10·8		14...19·4
	12...10·8		19...19·4
	17...10·8		24...19·6
	22...11·1		29...19·6
	27...11·3		
		September	3...19·8
April	1...11·6		8...20·2
	6...12·0		13...20·0
	11...12·2		18...19·6
	16...12·7		23...18·6
	21...13·4		28...18·4
	26...13·9		
		Oktober	3...18·2
Mai	1...13·4		8...18·0
	6...13·6		13...18·0
	11...13·6		18...17·6
	16...13·5		23...16·8
	21...12·6		28...15·9
	26...13·8		
	31...14·4		

1902, November	2...15°4	1902, Dezember	2...12°1
	7...15·4		7...11·0
	12...15·1		12...10·4
	17...14·0		17...10·4
	22...12·4		22...10·3
	27...12·0		27...10·2

Die Temperatur schwankte zwischen $9\cdot8^{\circ}$ und $20\cdot2^{\circ}$, hielt sich demnach zwischen den bereits aus den früheren Beobachtungen gezogenen Grenzen $9\cdot0^{\circ}$ und $20\cdot8^{\circ}$.

Die Veränderlichkeit der Temperatur von einem Tage zum anderen ist auch im Jahre 1902 sehr klein, erreicht im Mittel nur $0\cdot13^{\circ}$. Die größte Veränderlichkeit betrug $1\cdot1^{\circ}$, doch wurde diese nur einmal beobachtet, während gar keine Änderung von einem Mittag zum anderen an 127 Tagen vorkam und eine Veränderlichkeit von nur $0\cdot1^{\circ}$ an 126 Tagen. Es ist mithin eine Veränderlichkeit der Temperatur von $0\cdot0^{\circ}$ und $0\cdot1^{\circ}$ 253mal zu konstatieren gewesen, demnach bei 69% sämtlicher Beobachtungstage.

Die Mittel der Veränderlichkeit der Temperatur für die einzelnen Dekaden sind nachfolgende:

1902, Jänner:	1. Dekade.....	$0^{\circ}06$
	2. »	$0\cdot11$
	3. »	$0\cdot12$
Februar:	1. »	$0\cdot24$
	2. »	$0\cdot16$
	3. »	$0\cdot09$
März:	1. »	$0\cdot07$
	2. »	$0\cdot04$
	3. »	$0\cdot07$
April:	1. »	$0\cdot12$
	2. »	$0\cdot10$
	3. »	$0\cdot12$
Mai:	1. »	$0\cdot24$
	2. »	$0\cdot11$
	3. »	$0\cdot26$

1902, Juni:	1. Dekade	0°14
	2.	0·10
	3.	0·08
Juli:	1.	0·13
	2.	0·13
	3.	0·09
August:	1.	0·10
	2.	0·08
	3.	0·09
September:	1.	0·13
	2.	0·12
	3.	0·10
Oktober:	1.	0·05
	2.	0·11
	3.	0·15
November:	1.	0·07
	2.	0·27
	3.	0·20
Dezember:	1.	0·27
	2.	0·12
	3.	0·11

Die relative Feuchtigkeit der Luft im Horizontalpendelkeller schwankte zwischen 68% und 100%. Der letztgenannte Wert wurde nur einmal beobachtet.

Die Schwingungsdauer beträgt bei

Pendel <i>N</i>	8·77 ^s
<i>V</i>	8·28 ^s
<i>E</i>	8·82 ^s ,

wozu bemerkt werden soll, daß Pendel *E* in der Richtung E—W liegt, demnach Pendel *N* bei W 60° N und Pendel *V* bei W 60° S aufgestellt sind.

Aus dieser Schwingungsdauer ergeben sich für die drei Pendel nachfolgende Reduktionsgrößen:

Neigungsänderung der Pendelachse bei Bewegung
des Lichtpunktes um 1 *mm*.

Pendel <i>N</i>	0·031''
<i>V</i>	0·037''
<i>E</i>	0·031''.

Nach Ausmessung der Seismogramme auf Zehntelmillimeter wurde für jede einzelne Störung die hauptsächlich durch die variable Kontraktion des Papiers nach erfolgter photographischer Entwicklung hervorgerufene verschiedene Stundenlänge in Berücksichtigung gezogen und die Zeitangaben auf Hundertelminuten umgerechnet. Die mittlere Stundenlänge resultiert mit 43·47 *mm*, daher $0\cdot1\text{ mm} = 0\cdot138^m$. Ferner wurde die durch künstliche Ablendung von Fall zu Fall bestimmte Parallaxe der Lichtpunkte, wie auch die Korrektion für den Blendenfall zur Stundenmarkierung in Rechnung gebracht.

Die nach den regelmäßigen Zeitbestimmungen des Observatoriums täglich vorgenommenen Vergleiche der Walzenuhr des Seismographen ergaben einen zufriedenstellenden Gang.

Die Lichtquelle, eine kleine Gasflamme, bewährte sich ganz gut.

Die Zeitangaben sind in mitteleuropäischer Zeit gehalten. Die Stunden laufen von Mitternacht zu Mitternacht. Die Amplituden der Schwingungen beziehen sich auf die ganze Ausschlagsweite.

Da das Ende einer Störung kaum genau angegeben werden kann, so sind die hier für das Ende des Bebens mitgeteilten Dezimalen der Minute nur als Rechnungsergebnisse der einzelnen Korrekptionsgrößen zu betrachten.

Die zur Anwendung gelangten Abkürzungen sind wie in den früheren Jahren die nachfolgenden:

B.	Beginn der Störung.
Max.	Maximum.
M_1, M_2, M_3	Erstes, zweites, drittes... Maximum der Störung.
E.	Ende der Störung.
A^m	Größter Ausschlag.

- A Amplitude, beziehungsweise mittlere Amplitude.
- A_1, A_2, A_3 . . . Ausschlag des ersten, zweiten, dritten . . . Maximums.
- $>$ Plötzliches Anschwellen der Bewegung, darauffolgende allmähliche Abnahme.
- $(>$ Sehr rasches Anwachsen und allmähliche Abnahme der Bewegung.
- $<>$ Langsame Zu- und Abnahme.

Bei der täglichen Bedienung der Seismographen, wie auch bei den ersten Ablesungen der Kurven leisteten ihre Mithilfe der Adjunkt des Observatoriums, Herr Ingenieur Faidiga, und der Hilfsbeamte Herr Bartosch.

Nr. 1. 1. Jänner 1902:

Knotenförmige Bildung.

N . . . B. 6^h 32^m50; M_1 6^h 35^m25, A_1 1·4 mm ; E. 6^h 39^m36.

Beginn der Hauptstörung 6^h 42^m11, Aufzeichnung verschwindet, Pendel gelangt nach 8^h zur Ruhe.

V . . . Mikroseismisch bewegt.

E . . . » » »

Nr. 2. 2. Jänner 1902:

N . . . Von 15^h 25^m80 bis 15^h 28^m98 zwei knotenförmige Bildungen, A_m 1·0 mm .

V . . . Tagsüber mikroseismisch bewegt.

E . . . » » »

Nr. 3. 3. Jänner 1902:

- $(>$ N . . . B. 22^h 30^m22; Aufzeichnung undeutlich; Maximum der Anschwellung erreicht eine A von 1·7 mm ; E. 22^h 54^m97.

V . . . Tagsüber unruhig.

E . . . » » »

Nr. 4. 9. Jänner 1902:

- (> N... B. 1^h 11^m37; M_1 1^h 16^m95, A_1 2·4 mm;
 M_2 1^h 20^m85, A_2 3·4 mm;
 M_3 1^h 30^m34, A_3 4·4 mm;
 Max. 1^h 34^m39, A_m 4·5 mm;
 M_5 1^h 40^m39, A_5 3·2 mm;
 M_6 1^h 45^m97, A_6 3·2 mm;
 M_7 2^h 1^m32, A_7 2·0 mm; E. 2^h 13^m88.
 V... B. 1^h 13^m02; Max. 1^h 14^m56, A_m 1·8 mm;
 M_2 1^h 23^m76, A_2 1·3 mm;
 M_3 1^h 32^m08, A_3 1·4 mm.

E. wegen andauernder mikroseismischer Unruhe
 nicht bestimmbar.

E... B. 1^h 11^m34; mikroseismisch unruhig.

Nr. 5. 12. Jänner 1902:

- (> N... B. 23^h 39^m29; M_1 23^h 39^m99, A_1 1·3 mm;
 M_2 23^h 48^m77, A_2 2·7 mm;
 Max. 23^h 55^m19, A_m 6·7 mm;

hierauf Abnahme; vom 13. Jänner 0^h 18^m78 an eine
 neue Anschwellung mit Max. bei 0^h 22^m21 und
 0^h 26^m05, A_m 2·5 mm; E. 0^h 31^m13.

V... Mikroseismische Unruhe sowohl vorausgehend als
 auch folgend; verschiedene Maxima, darunter
 M_1 23^h 49^m17, A_1 1·0 mm;
 M_2 23^h 55^m87, A_2 1·5 mm.

E... Tagsüber unruhig.

Nr. 6. 16. Jänner 1902:

- <> N... B. 12^h 52^m96; Max. 12^h 56^m27, A_m 1·5 mm;
 E. 13^h 15^m63.

V... Andauernde mikroseismische Unruhe.

E. . . . » » »

Nr. 7. 16. Jänner 1902:

(> *N...* B. 15^h 4^m30; Max. 15^h 5^m97, A_m 1·8 mm;
E. 15^h 24^m03.

V... Tagsüber mikroseismische Unruhe.

E... » » »

Nr. 8. 17. Jänner 1902:

(> *N...* B. 1^h 18^m15; M_1 1^h 20^m80, A_1 4·5 mm;
Max. 1^h 24^m85, A_m 5·0 mm;

hierauf Abnahme; von 1^h 46^m48 bis 2^h 8^m80 eine
zweite Anschwellung mit A_m 1·4 mm.

V... Tagsüber mikroseismische Unruhe.

E... » » »

Nr. 9. 17. Jänner 1902:

(> *N...* B. 20^h 53^m48; M_1 20^h 54^m32, A_1 1·3 mm;
 M_2 21^h 1^m89, A_2 2·5 mm;
 M_3 21^h 15^m91, A_3 2·5 mm;
Max. 21^h 22^m92 und 21^h 32^m73,
 A_m 3·0 mm;

M_5 21^h 42^m54, A_5 2·2 mm;

E. 22^h 11^m99.

V... B. 20^h 54^m30; M_1 20^h 54^m86, A_1 0·8 mm;

M_2 21^h 2^m01, A_2 1·7 mm;

Max. 21^h 27^m94, A_m 2·4 mm.

E. infolge andauernder mikroseismischer Unruhe
nicht bestimmbar.

E... Tagsüber unruhig.

Nr. 10. 19. Jänner 1902:

Vor 1^h eine seismische Störung ersichtlich, wegen undeutlicher
Aufzeichnung jedoch nicht ausmeßbar.

Nr. 11. 20. Jänner 1902:

<> N... Zwischen 2^h 29^m32 und 3^h 22^m50 eine Reihe schwacher Stöße mit A_m 1·8 mm.

V... Kontinuierliche Unruhe.

E... » »

Nr. 12. 21. Jänner 1902:

> N... B. 23^h 5^m95; M_1 23^h 6^m38, A_1 2·4 mm;
 Max. 23^h 11^m96, A_m 4·5 mm;
 M_3 23^h 19^m21, A_3 2·6 mm;
 M_4 23^h 24^m51, A_4 2·6 mm; E. 24^h 9^m16.

V... B. 23^h 5^m52; Max. 23^h 6^m92, A_m 2·0 mm;

M_2 23^h 12^m21, A_2 1·2 mm;

M_3 23^h 20^m17, A_3 1·0 mm;

E. 23^h 48^m78. Unruhe in den nächsten Stunden noch andauernd.

E... Tagsüber schwache Unruhe.

Nr. 13. 22. Jänner 1902:

Drei deutliche Gruppen.

<> N... B. 23^h 15^m55; Max. 23^h 19^m03, A_m 1·3 mm;
 E. 23^h 34^m39.

B. 23^h 41^m64; Max. 23^h 44^m15, A_m 1·5 mm;

E. 23^h 55^m31.

23. Jänner:

B. 0^h 34^m49; Max. 0^h 36^m96, A_m 1·4 mm;

E. 0^h 49^m07.

V... B. 23^h 16^m09; Max. 23^h 19^m57, A_m 1·3 mm;

E. 23^h 26^m55.

B. 23^h 41^m76; Max. 23^h 43^m72, A_m 1·3 mm;

E. unbestimmbar.

23. Jänner.

B. 0^h 35^m03; Max. 0^h 35^m85, A_m 1·1 mm;

E. wegen andauernder mikroseismischer Störung unbestimmbar.

E... B. 23^h 15^m66; Max. 23^h 19^m28, A_m 2·0 *mm*;

E. 23^h 36^m03.

B. 23^h 41^m89; Max. 23^h 43^m71, A_m 2·2 *mm*;

E. 24^h 2^m54.

23. Jänner:

B. 0^h 34^m88; Max. 0^h 36^m94, A_m 2·0 *mm*;

E. 0^h 52^m08.

Nr. 14. 23. Jänner 1902:

> *N...* B. 14^h 37^m11; Max. 14^h 38^m47, A_m 1·5 *mm*;

E. 14^h 58^m24.

V... Mikroseismische Unruhe den ganzen Tag anhaltend.

E... B. 14^h 37^m22; Max. 14^h 39^m40, A_m 3·8 *mm*;

E. 14^h 57^m13.

Nr. 15. 25. Jänner 1902:

(> *N...* B. 0^h 48^m56; M_1 0^h 49^m38, A_1 3·0 *mm*;

M_2 1^h 1^m34, A_2 4·8 *mm*;

Max. 1^h 13^m29, A_m 5·6 *mm*;

M_4 1^h 29^m94, A_4 4·8 *mm*;

M_5 1^h 46^m89, A_5 4·5 *mm*;

folgt eine Reihe schwacher Stöße mit A 2·0 *mm*
bis 3^h 0^m22; E. unbestimmbar.

V... Mikroseismische Unruhe.

E... » » »

Nr. 16. 28. Jänner 1902:

<> *N...* B. 19^h 52^m46; M_1 19^h 53^m56, A_1 1·6 *mm*;

Max. 20^h 5^m10, A_m 5·3 *mm*;

folgen schwächer werdende Stöße, bis um 20^h 20^m75
nur mehr A 1·2 *mm*, hierauf neuerliche Verstärkung mit A_m 2·0 *mm*; E. 21^h 9^m08.

V... Tagsüber mikroseismische Unruhe.

E... » » »

Nr. 17. 29. Jänner 1902:

(> *N...* B. 2^h 34^m27; *M*₁ 2^h 38^m34, *A*₁ 2·8 *mm*;
 von 2^h 47^m03 bis 3^h 6^m58 eine Reihe fast gleich-
 starker Stöße mit *A* 3·5 *mm*; E. 3^h 43^m24.

V... Mikroseismische anhaltende Unruhe.

E... » » » »

Nr. 18. 30. Jänner 1902:

<> *N...* B. 15^h 11^m84; *M*₁ 15^h 14^m63, *A*₁ 2·5 *mm*;

folgt eine große Reihe von Stößen, Aufzeichnung
 undeutlich. Von 16^h 12^m68 an zeigen die
 Schwingungen nur mehr *A* 2·0 *mm*; E. bei
 17^h 5^m69.

V... B. 15^h 12^m38; *M*₁ 15^h 13^m22, *A*₁ 1·3 *mm*;
*M*₂ 15^h 16^m01, *A*₂ 1·5 *mm*;

Aufzeichnung wird undeutlich, bei 15^h 57^m87 wieder
 entnehmbar, jedoch mit nur *A* 1·0 *mm*; E. bei
 16^h 34^m15.

E... B. unbestimmbar; *M*₁ 15^h 15^m72, *A*₁ 2·2 *mm*;

folgt eine Reihe gleichstarker Stöße; E. 16^h 2^m46.

Nr. 19. 31. Jänner 1902:

<> *N...* B. 2^h 53^m37; *M*₁ 2^h 58^m14, *A*₁ 3·0 *mm*;

Aufzeichnung wird undeutlich; E. 4^h 0^m19.

V... B. 2^h 53^m91; der weitere Verlauf durch mikrosei-
 mische Bewegung gestört.

E... Kontinuierliche Unruhe.

Nr. 20. 4. Februar 1902:

Das Vorhandensein einer Störung vor 1^h zwar ersichtlich,
 wegen Versagens des photographischen Papiers jedoch
 nicht ausmeßbar.

Nr. 21. 6. Februar 1902:

(> N... B. 4^h 41^m65; Max. 4^h 43^m16, A_m 1·7 mm;
E. 4^h 53^m39.

V... Ruhig.

E... Kontinuierliche Unruhe vorangehend. Zur Zeit obiger Störung bemerkbar von 4^h 43^m41 bis 4^h 57^m73 eine Verdickung mit A_m 1·1 mm.

Nr. 22. 9. Februar 1902:

> N... B. 8^h 55^m08; M_1 8^h 55^m90, A_1 2·2 mm;
 M_2 8^h 59^m44, A_2 6·3 mm;
Max. 9^h 7^m15, A_m 9·0 mm;
 M_4 9^h 14^m37, A_4 7·2 mm;
 M_5 9^h 28^m26, A_5 7·4 mm;
 M_6 9^h 41^m60, A_6 5·0 mm;
 M_7 9^h 47^m72, A_7 3·4 mm; E. 10^h 7^m16.

Zwischen 10^h 12^m72 und 10^h 47^m43 noch eine Anschwellung mit A_m 1·3 mm.

V... B. 8^h 56^m03; M_1 8^h 57^m53, A_1 3·0 mm;
 M_2 9^h 5^m34, A_2 3·8 mm;
 M_3 9^h 8^m80, A_3 3·8 mm;
 M_4 9^h 13^m81, A_4 2·0 mm;

folgt eine ganze Reihe schwächerer Stöße.

E... B. 8^h 55^m06; M_1 8^h 55^m74, A_1 1·5 mm;
Max. 8^h 59^m69, A_m 3·0 mm;

von 9^h 9^m07 noch eine Anschwellung bis 9^h 29^m90, A_m 1·2 mm.

Nr. 23. 9. Februar 1902:

> N... B. 11^h 25^m66; M_1 11^h 26^m91, A_1 1·6 mm;
 M_2 11^h 30^m55, A_2 5·6 mm;
 M_3 11^h 35^m44, A_3 6·0 mm;
 M_4 11^h 50^m40, A_4 6·0 mm;
 M_5 12^h 0^m62, A_5 4·4 mm;
 M_6 12^h 7^m18, A_6 2·0 mm;

E. unbestimmbar.

V... B. 11^h 26^m90; Max. 11^h 28^m30, A_m 3·4 mm;
 M_2 11^h 33^m33, A_2 2·0 mm;

hierauf mehrere fast gleichstarke Stöße; bei 12^h 1^m16
 noch A 1·0 mm; E. unbestimmbar.

E... B. 11^h 25^m62; M_1 11^h 26^m19, A_1 1·8 mm;
 Max. 11^h 28^m84, A_m 4·8 mm;
 M_3 11^h 36^m39, A_3 2·3 mm;
 M_4 11^h 56^m67, A_4 1·6 mm;

E. unbestimmbar.

Nr. 24. 10. Februar 1902:

N... Von 9^h 47^m12 bis 9^h 50^m57 Anschwellung, A 1·2 mm.

V... Von 9^h 49^m18 bis 9^h 51^m94 Anschwellung, A 1·0 mm.

E... Ruhig.

Nr. 25. 13. Februar 1902:

Die Aufzeichnung des ersten Teiles der Störung ist sehr un-
 deutlich; entnehmbar ist nur:

> N... B. 10^h 44^m66; nach deutlicher werdender Zeichnung:

M_1 11^h 25^m22, A_1 2·6 mm;

M_2 11^h 30^m10, A_2 4·0 mm;

M_3 11^h 36^m80, A_3 3·8 mm;

Max. 11^h 41^m83, A_m 4·4 mm;

M_5 11^h 49^m09, A_5 2·6 mm; E. 11^h 55^m36.

Vor 12^h 17^m folgt eine neuerliche Zunahme der
 Pendelbewegung mit A_m 2·0 mm.

V... B. 10^h 44^m92; Anmerkung wie oben:

M_1 11^h 11^m67, A_1 3·0 mm;

Max. 11^h 19^m63, A_m 4·2 mm;

M_3 11^h 28^m42, A_3 3·2 mm; E. 11^h 41^m95.

E... B. 10^h 44^m77; M_1 10^h 46^m57, A_1 2·0 mm;

Anmerkung wie oben:

M_2 11^h 4^m68, A_2 3·0 mm;

M_3 11^h 10^m95, A_3 3·0 mm; E. 11^h 41^m66.

Auch hier folgt neuerliche Zunahme der Pendel-
 bewegung, A_m aber nur 1·0 mm.

Nr. 26. 13. Februar 1902:

N... Von 15^h 42^m54 bis 15^h 47^m01 Anschwellung,
A 1·2 *mm*.

V... Von 15^h 38^m20 bis 15^h 44^m61 Anschwellung,
A 0·9 *mm*.

E... Ruhig.

Nr. 27. 13. Februar 1902:

<> *N...* B. 17^h 36^m95; *M*₁ 17^h 41^m92, *A*₁ 1·8 *mm*;
*M*₂ 17^h 46^m63, *A*₂ 1·8 *mm*;
 Max. 17^h 53^m54, *A*_m 4·7 *mm*;
E. 18^h 11^m51.

V... B. 17^h 35^m96; *M*₁ 17^h 42^m32, *A*₁ 1·0 *mm*;
 Max. 17^h 54^m08, *A*_m 1·7 *mm*;
E. 18^h 7^m90.

E... B. 17^h 34^m84; Max. 17^h 42^m73, *A*_m 1·9 *mm*;
E. 18^h 7^m61.

Nr. 28. 13. Februar 1902:

N... Zwischen 20^h 24^m79 und 20^h 39^m30 einige schwache
 Anschwellungen, *A*_m 1·0 *mm*.

V... Von 20^h 26^m02 bis 20^h 36^m66 schwache Anschwel-
 lungen, *A*_m 0·8 *mm*.

E... Ruhig.

Nr. 29. 14. Februar 1902:

> *N...* B. 0^h 32^m53; *M*₁ 0^h 34^m19, *A*₁ 2·2 *mm*;
 Max. 0^h 40^m41, *A*_m 2·6 *mm*; *E.* 1^h 3^m23.

V... Ruhig.

E... Tagsüber mikroseismische Unruhe.

Nr. 30. 15. Februar 1902:

<> *N...* B. 10^h 15^m27; Max. 10^h 26^m36 bis 10^h 30^m24,
*A*_m 1·8 *mm*; *E.* 10^h 53^m79.

V... Schwache Knotenbildungen.

E... Tagsüber mikroseismisch bewegt.

Nr. 31. 15. Februar 1902:

(> N... B. 11^h 22^m06; M_1 11^h 22^m76, A_1 1·3 mm;
 M_2 11^h 26^m94, A_2 2·7 mm;
 M_3 11^h 31^m83, A_3 3·3 mm;
 Max. 11^h 36^m72, A_m 4·2 mm;
 M_5 11^h 47^m60, A_5 2·3 mm;

E. durch Streifenabnahme gestört.

V... B. 11^h 22^m31; M_1 11^h 23^m30, A_1 1·0 mm;
 Max. 11^h 37^m26, A_m 1·2 mm;
 E. 11^h 41^m44.

E... Tagsüber mikroseismische Unruhe.

Nr. 32. 15. Februar 1902:

N... B. und E. unbestimmbar. Von 22^h 54^m82 bis
 23^h 9^m75, stärkere Anschwellung; Max. 23^h 0^m49
 mit A_m 3·7 mm.

V... Kontinuierliche Unruhe.

E... » »

Nr. 33. 17. Februar 1902:

Tagsüber äußerst starke mikroseismische Unruhe, infolgedessen B. und E. der seismischen Störung nicht angebbar.

> N... Max. 1^h 53^m63, A_m 12·1 mm;
 M_2 2^h 1^m91, A_2 5·0 mm;
 M_3 2^h 7^m23, A_3 4·0 mm;
 M_4 2^h 18^m92, A_4 4·5 mm;
 M_5 2^h 32^m21, A_5 6·5 mm.

V... Max. 1^h 53^m49, A_m 3·8 mm;
 M_2 2^h 27^m60, A_2 3·0 mm;

E... Starke mikroseismische Unruhe durch den ganzen Tag andauernd.

Nr. 34. 19. Februar 1902:

(> N... B. 15^h 51^m19; M_1 15^h 51^m90, A_1 1·3 mm;
 Max. 15^h 59^m30, A_m 2·4 mm;

E. unbestimmbar.

V... Mikroseismische Unruhe.

E... » »

Nr. 35. 20. Februar 1902:

N... Tagsüber mikroseismisch bewegt.

V... » » »

E... Von 3^h 12^m56 bis 3^h 27^m66 Anschwellung;

Max. bei 3^h 12^m70, A_m 2·0 mm, und von 3^h 20^m80
 bis 3^h 23^m54, A_m 2·1 mm.

Nr. 36. 20. Februar 1902:

<> N... B. 16^h 52^m88; M_1 16^h 54^m28, A_1 1·1 mm;

Max. 17^h 2^m69, A_m 2·4 mm;

M_3 17^h 10^m25, A_3 2·0 mm;

M_4 17^h 16^m70, A_4 2·2 mm;

folgen mehrere fast ebenso starke Stöße bis
 17^h 25^m12; hierauf neuerliche Zunahme mit

M_5 17^h 47^m55, A_5 2·3 mm; E. 18^h 8^m58.

V... B. 16^h 53^m70; M_1 16^h 54^m82, A_1 1·4 mm;

sodann Abnahme; von 17^h 22^m01 wieder Zunahme mit

Max. 17^h 25^m37, A_m 2·0 mm; E. 17^h 38^m27.

E... Tagsüber mikroseismische Unruhe.

Nr. 37. 21. Februar 1902:

N... Bei 7^h 31^m96 Beginn einer Anschwellung;

Max. 7^h 42^m12 bis 7^h 43^m38, A_m 1·8 mm;

E. unbestimmbar.

V... Sehr schwach bewegt.

E... » » »

Nr. 38. 22. Februar 1902:

- <> N... B. 7^h59^m16; Max. 8^h6^m95, A_m 2·3 mm; E. 8^h30^m06.
 V... Tagsüber schwach bewegt.
 E... Tagsüber stärker bewegt.

Nr. 39. 24. Februar 1902:

- N... B. und E. unbestimmbar; von 6^h39^m79 bis 7^h22^m15
 Maxima der Anschwellungen mit 1·5 mm.
 V... Tagsüber mikroseismisch unruhig.
 E... » » »

Nr. 40. 25. Februar 1902:

- <> N... Zwischen 10^h59^m12 und 11^h18^m67 eine Verdickung
 der Kurve mit A_m 1·8 mm.
 V... Tagsüber schwache mikroseismische Bewegung.
 E... » » » »

Nr. 41. 25. Februar 1902:

- > N... B. 16^h52^m09; M_1 16^h52^m65, A_1 1·2 mm;
 Max. 16^h59^m54, A_m 4·3 mm;
 M_3 17^h6^m85, A_3 2·9 mm;
 E. 18^h2^m98.
 V... B. 16^h58^m42; M_1 16^h58^m97, A_1 1·7 mm;
 Max. 17^h7^m25, A_m 2·3 mm;
 E. unbestimmbar.
 E... Starke andauernde Unruhe.

Nr. 42. 26. Februar 1902:

- <> N... B. 16^h32^m68; M_1 16^h33^m36, A_1 1·3 mm;
 M_2 16^h45^m37, A_2 1·4 mm;
 Max. 17^h4^m04, A_m 2·1 mm;
 von 17^h12^m91 wieder etwas stärkere Stöße mit
 A_m 1·8 mm bis 17^h24^m91; E. 17^h41^m27.
 V... B. 16^h32^m95; Max. 16^h54^m77, A_m 1·0 mm;
 E. 17^h9^m08.
 E... Kontinuierliche Unruhe.

Nr. 43. 1. März 1902:

- <> N... B. 1^h 34^m58; M_1 1^h 37^m43, A_1 1·7 mm;
 M_2 2^h 3^m09, A_2 2·7 mm;
 M_3 2^h 11^m92, A_3 3·0 mm;
 Max. 2^h 25^m89, A_m 3·4 mm; E. 3^h 4^m37.
 V... B. 1^h 34^m83; M_1 1^h 37^m68, A_1 1·1 mm;
 Max. 1^h 59^m35, A_m 1·3 mm; E. 2^h 22^m15.
 E... Starke andauernde mikroseismische Unruhe.

Nr. 44. 3. März 1902:

Knotenförmige Bildungen:

- N... Von 12^h 3^m51 bis 12^h 4^m49;
 Max. 12^h 3^m93, A_m 1·5 mm.
 V... Von 12^h 3^m49 bis 12^h 5^m88;
 Max. 12^h 4^m47, A_m 1·4 mm.
 E... Von 12^h 3^m06 bis 12^h 4^m60;
 Max. 12^h 4^m18, A_m 1·4 mm.

Nr. 45. 5. März 1902:

- > N... B. 8^h 7^m79; Max. 8^h 8^m74, A_m 1·1 mm;
 E. unbestimmbar.
 V... B. 8^h 7^m91; Max. 8^h 9^m28, A_m 1·4 mm; E. 8^h 20^m66.
 E... B. 8^h 8^m04; Max. 8^h 9^m13, A_m 1·5 mm; E. 8^h 28^m58.

Nr. 46. 5. März 1902:

- > N... B. 20^h 17^m73; M_1 20^h 19^m66, A_1 2·3 mm;
 M_2 20^h 23^m38, A_2 2·5 mm;
 M_3 20^h 25^m72, A_3 3·7 mm;
 Max. 20^h 28^m33, A_m 3·8 mm;
 M_5 20^h 33^m70, A_5 3·2 mm;
 M_6 20^h 40^m58, A_6 2·4 mm;

folgen schwächere Stöße, dann wieder stärkere von
 20^h 49^m38 an, darunter

M_7 21^h 0^m12, A_7 3·4 mm; E. 22^h 24^m07.

V... B. 20^h 17^m86; M_1 20^h 19^m38, A_1 1·1 mm;
 M_2 20^h 23^m78, A_2 2·0 mm;
 Max. 20^h 25^m99, A_m 3·8 mm;

folgen mehrere schwächere Stöße mit A_m 2·0 mm;
 von 20^h 55^m85 neue Verstärkung mit

M_4 20^h 57^m63, A_4 2·2 mm; E. 21^h 28^m19.

E... B. 20^h 18^m12; Max. 20^h 22^m94, A_m 2·4 mm;
 E. wegen andauernder mikroseismischer Unruhe
 nicht bestimmbar.

Nr. 47. 5. März 1902:

<> N... B. 23^h 46^m47; Max. 23^h 58^m05, A_m 2·0 mm;
 E. 24^h 18^m89.

V... B. 23^h 47^m97; Max. 24^h 0^m80, A_m 1·2 mm;
 E. 24^h 21^m50.

E... Kontinuierliche mikroseismische Unruhe.

Nr. 48. 6. März 1902:

> N... B. 0^h 32^m14; Max. 0^h 36^m25, A_m 6·8 mm;
 E. 0^h 59^m76.

V... B. 0^h 32^m68; Max. 0^h 35^m43, A_m 2·0 mm;
 M_2 0^h 38^m02, A_2 1·9 mm;
 E. 1^h 0^m30.

E... B. 0^h 32^m39; Max. 0^h 34^m05 bis 0^h 35^m27, A_m 3·4 mm;
 E. unbestimmbar.

Nr. 49. 7. März 1902:

<> N... B. 20^h 13^m13; Max. 20^h 20^m52, A_m 2·0 mm;
 E. 20^h 43^m48.

V... B. 20^h 13^m80; Max. 20^h 20^m79 bis 20^h 22^m15,
 A_m 1·0 mm; E. 20^h 39^m92.

E... Tagsüber mikroseismisch unruhig.

Nr. 50. 7. März 1902.

- (> *N...* B. 20^h 59^m45; Max. 21^h 1^m25, A_m 1·8 *mm*;
 E. unbestimmbar.
V... B. 21^h 0^m42; Max. 21^h 2^m47, A_m 1·4 *mm*; E. 21^h 5^m88.
E... Tagsüber mikroseismisch unruhig.

Nr. 51. 9. März 1902:

- > *N...* B. 8^h 47^m88; M_1 8^h 48^m70, A_1 1·2 *mm*;
 M_2 8^h 52^m00, A_2 2·3 *mm*;
 Max. 8^h 55^m44, A_m 23·5 *mm*;
 M_4 8^h 59^m42, A_4 18·4 *mm*;
 M_5 9^h 1^m47, A_5 11·4 *mm*;
 M_6 9^h 15^m20, A_6 4·6 *mm*;
 E. 9^h 53^m79.
V... B. 8^h 47^m74; M_1 8^h 48^m42, A_1 1·1 *mm*;
 M_2 8^h 52^m13, A_2 2·4 *mm*;
 M_3 8^h 54^m06, A_3 5·5 *mm*;
 Max. 8^h 56^m66, A_m 17·0 *mm*;
 M_5 9^h 0^m64, A_5 5·2 *mm*;
 M_6 9^h 3^m11, A_6 4·4 *mm*;
 E. 9^h 48^m84.
E... B. 8^h 47^m72; M_1 8^h 48^m68, A_1 1·6 *mm*;
 Max. 8^h 53^m48 bis 8^h 55^m55, A_m 6·6 *mm*;
 M_3 8^h 58^m15, A_3 4·3 *mm*;
 M_4 9^h 4^m61, A_4 3·0 *mm*;
 E. unbestimmbar.

Nr. 52. 10. März 1902:

- <> *N...* B. 5^h 25^m85; M_1 5^h 28^m32, A_1 1·8 *mm*;
 M_2 5^h 38^m03, A_2 2·2 *mm*;
 Max. 5^h 47^m45, A_m 2·3 *mm*;
 M_4 5^h 54^m55, A_4 1·9 *mm*;
 M_5 6^h 18^m62, A_5 1·9 *mm*; E. 7^h 9^m88.
V... Zwischen 5^h 33^m65 und 5^h 47^m04 einige kleine
 Stöße mit A_m 0·8 *mm*.
E... Kontinuierliche mikroseismische Unruhe.

Nr. 53. 11. März 1902:

- > N... B. 20^h 13^m67; M_1 20^h 14^m35, A_1 2·4 mm;
 M_2 20^h 15^m57, A_2 4·0 mm;
 Max. 20^h 19^m95, A_m 4·7 mm;
 M_4 20^h 28^m67, A_4 3·0 mm;
 M_5 20^h 34^m12, A_5 2·7 mm;
 E. 21^h 19^m12.
- V... B. 20^h 14^m21; Max. 20^h 15^m57 bis 20^h 19^m12,
 A_m 1·4 mm; E. 20^h 56^m48.
- E... B. 20^h 13^m92; Max. 20^h 16^m91, A_m 2·8 mm;
 E. unbestimmbar.

Nr. 54. 12. März 1902:

- > N... B. 10^h 2^m05; M_1 10^h 2^m75, A_1 3·2 mm;
 Max. 10^h 19^m50, A_m 3·3 mm;
 M_3 10^h 36^m24, A_3 2·4 mm;
 E. 11^h 11^m12.
- V... B. 10^h 2^m17; Max. 10^h 2^m59, A_m 1·9 mm;
 M_2 10^h 7^m19, A_2 1·5 mm;
 E. 11^h 10^m26.
- E... Von 9^h 54^m91 bis 10^h 53^m23 Anschwellung der
 Kurve mit Max. 10^h 8^m58, A_m 2·0 mm.

Nr. 55. 12. März 1902:

- (> N... B. 16^h 24^m70; M_1 16^h 24^m99, A_1 1·7 mm;
 M_2 16^h 35^m27, A_2 2·0 mm;
 M_3 16^h 41^m66, A_3 2·5 mm;
 Max. 17^h 2^m50, A_m 2·6 mm;
 E. 17^h 55^m26.
- V... B. 16^h 24^m42; M_1 16^h 25^m24, A_1 2·1 mm;
 M_2 16^h 27^m20, A_2 3·4 mm;
 Max. 16^h 29^m55, A_m 3·7 mm;
 M_4 16^h 34^m70, A_4 2·2 mm;
 M_5 16^h 36^m50, A_5 2·1 mm;
 M_6 16^h 42^m20, A_6 1·7 mm;
 M_7 16^h 51^m92, A_7 1·3 mm;
 E. 17^h 59^m98.

E... B. 16^h 24^m40; M_1 16^h 24^m95, A_1 1·8 *mm*;
 Max. 16^h 28^m71, A_m 4·2 *mm*;
E. unbestimmbar.

Nr. 56. 12. März 1902:

(> *N*... B. 20^h 45^m18; M_1 20^h 46^m27, A_1 1·6 *mm*;
 M_2 20^h 48^m46, A_2 2·0 *mm*;
 Max. 20^h 51^m87, A_m 3·3 *mm*;
E. 21^h 24^m82.

V... B. 20^h 45^m72; Max. 20^h 51^m60, A_m 1·7 *mm*;
E. 21^h 25^m36.

E... B. und *E.* unbestimmbar; Max. von 20^h 49^m26 bis
 20^h 51^m31, A_m 1·8 *mm*.

Nr. 57. 14. März 1902:

<> *N*... B. 22^h 55^m17; M_1 22^h 58^m18, A_1 1·4 *mm*;
 Max. 23^h 3^m13, A_m 1·8 *mm*;
 M_3 23^h 13^m25, A_3 1·7 *mm*;

hierauf mehrere fast gleiche Stöße bis 23^h 41^m48;
E. 23^h 56^m55.

V... Von 22^h 55^m17 bis 23^h 26^m92 schwache Knoten-
 bildungen mit A_m 1·0 *mm*.

E... Tagsüber mikroseismische Unruhe, während der
 Störung A_m 1·8 *mm*.

Nr. 58. 16. März 1902:

> *N*... B. 3^h 47^m56; Max. 3^h 48^m96, A_m 2·4 *mm*;
E. unbestimmbar.

V... B. 3^h 47^m80; Max. 3^h 48^m24, A_m 1·0 *mm*;
E. unbestimmbar.

E... B. 3^h 47^m51; Max. 3^h 48^m23, A_m 2·0 *mm*;
 M_2 3^h 55^m36, A_2 1·6 *mm*;
E. unbestimmbar.

Nr. 59. 17. März 1902:

<> N... B. 12^h 30^m79; M_1 12^h 36^m60, A_1 2·2 mm;
 M_2 12^h 39^m77, A_2 3·0 mm;
 Max. 12^h 50^m42, A_m 3·2 mm;
 M_4 13^h 16^m69, A_4 1·9 mm;
 E. 14^h 13^m37.
 V... B. 12^h 31^m20; M_1 12^h 31^m61, A_1 1·2 mm;
 M_2 12^h 37^m69, A_2 1·3 mm;
 M_3 12^h 41^m43, A_3 1·3 mm;

folgen noch einige schwächere Stöße bis 13^h 7^m55
 mit A 1·0 mm; E. wegen leichter andauernder
 Unruhe nicht bestimmbar.

E... Tagsüber starke mikroseismische Unruhe; zur Zeit
 der Störung mit A_m 2·5 mm.

Nr. 60. 18. März 1902:

<> N... B. 22^h 14^m19; Max. 22^h 24^m34 und 22^h 27^m21,
 A_m 1·4 mm; E. 22^h 44^m06.
 V... Tagsüber leichte mikroseismische Unruhe.
 E... » » » »

Nr. 61. 20. März 1902:

(> N... B. 3^h 22^m77; M_1 3^h 24^m45, A_1 2·0 mm;
 Max. 3^h 27^m38, A_m 2·2 mm;
 M_3 3^h 46^m50, A_3 1·8 mm;
 M_4 3^h 58^m77, A_4 1·8 mm;
 M_5 4^h 7^m56, A_5 1·9 mm; E. 4^h 43^m42.

V... Knotenförmige Anschwellungen mit

M_1 3^h 23^m03, A_1 1·2 mm;
 Max. 3^h 47^m18, A_m 1·6 mm;

E... Kontinuierliche mikroseismische Unruhe.

Nr. 62. 22. März 1902:

<> N... B. 8^h 21^m92; doch bei 7^h 55^m29 bereits Beginn einer schwachen vorausgehenden Unruhe. Von 9^h 3^m80 an wird die Bewegung überhaupt stärker;

Max. 9^h 13^m96 und 9^h 25^m49, A_m 2·5 mm;

E. 10^h 3^m94.

V... Tagsüber mikroseismisch bewegt.

E... » » »

Nr. 63. 22. und 23. März 1902:

<> N... B. 23^h 44^m04; M_1 23^h 45^m44, A_1 1·9 mm;

M_2 23^h 47^m94, A_2 2·5 mm;

M_3 0^h 1^m02, A_3 2·6 mm;

M_4 0^h 6^m04, A_4 3·7 mm;

M_5 0^h 11^m43, A_5 3·3 mm;

Max. 0^h 20^m01, A_m 6·6 mm;

M_7 0^h 33^m55, A_7 4·2 mm;

M_8 0^h 57^m74, A_8 2·7 mm;

E. 1^h 35^m76.

V... Fortwährende starke mikroseismische Unruhe.

E... » » »

Nr. 64. 24. März 1902:

> N... B. 19^h 9^m52; Max. 19^h 9^m81, A_m 3·2 mm;

M_2 19^h 16^m66, A_2 3·0 mm;

M_3 19^h 22^m70, A_3 3·0 mm;

M_4 19^h 29^m56, A_4 2·8 mm;

M_5 19^h 47^m14, A_5 1·9 mm;

E. 19^h 59^m50.

V... B. 19^h 9^m24; M_1 19^h 10^m88, A_1 2·4 mm;

Max. 19^h 12^m25, A_m 2·6 mm;

M_3 19^h 16^m10, A_3 2·2 mm;

E. 19^h 42^m19.

Nr. 65. 25. März 1902:

(\triangleright) *N...* B. $4^h 53^m 26$; $M_1 4^h 55^m 36$, $A_1 2.7 mm$;
 Max. $5^h 5^m 96$, $A_m 3.9 mm$;

von $5^h 29^m 68$ bis $5^h 47^m 82$ eine neue Reihe
 schwächerer Stöße mit $A_m 1.6 mm$; E. $5^h 50^m 60$.

V... B. $4^h 53^m 93$; $M_1 4^h 54^m 76$, $A_1 1.4 mm$;

$M_2 5^h 0^m 91$, $A_2 1.4 mm$; E. $5^h 24^m 35$.

E... Kontinuierliche Unruhe, $A_m 1.9 mm$.

Nr. 66. 28. März 1902:

(< \triangleright) *N...* B. $7^h 25^m 85$; $M_1 7^h 29^m 77$, $A_1 1.3 mm$;

Max. $7^h 38^m 15$, $A_m 1.7 mm$; E. $8^h 13^m 11$.

V... Schwache Unruhe.

E... » »

Nr. 67. 28. März 1902:

(\triangleright) *N...* B. $10^h 42^m 70$; $M_1 10^h 49^m 84$, $A_1 2.6 mm$;

Max. $10^h 59^m 42$, $A_m 3.8 mm$;

von $11^h 10^m 38$ bis $11^h 40^m 51$ mehrere schwächere
 Stöße mit $A_m 2.2 mm$; E. unbestimmbar.

V... Von $10^h 48^m 72$ bis $11^h 3^m 24$ mehrere knotenförmige
 Bildungen; Max. $10^h 54^m 20$, $A_m 1.3 mm$.

E... Von $10^h 49^m 01$ bis $11^h 21^m 89$ knotenförmige An-
 schwellungen; Max. $10^h 54^m 49$, $A_m 1.7 mm$.

Nr. 68. 28. März 1902:

(\triangleright) *N...* B. $15^h 57^m 92$; $M_1 15^h 59^m 03$, $A_1 1.8 mm$;

$M_2 16^h 3^m 22$, $A_2 4.8 mm$;

$M_3 16^h 10^m 10$, $A_3 14.5 mm$;

Max. $16^h 15^m 57$, $A_m 21.6 mm$;

$M_5 16^h 19^m 10$, $A_5 19.0 mm$;

$M_6 16^h 24^m 83$, $A_6 7.0 mm$;

M_7	16 ^h 30 ^m 41,	A_7	10·8 mm;
M_8	16 ^h 36 ^m 01,	A_8	12·2 mm;
M_9	16 ^h 40 ^m 10,	A_9	7·2 mm;
M_{10}	16 ^h 52 ^m 37,	A_{10}	6·2 mm;
M_{11}	17 ^h 0 ^m 82,	A_{11}	10·2 mm;
M_{12}	17 ^h 8 ^m 77,	A_{12}	6·0 mm;
M_{13}	17 ^h 17 ^m 31,	A_{13}	5·0 mm;

hierauf immer schwächer werdende Stöße bis 17^h 57^m 04. Bei 17^h 58^m 42 Beginn einer neuen Serie von Schwingungen, darunter

M_{14}	18 ^h 5 ^m 73,	A_{14}	3·1 mm;
M_{15}	18 ^h 46 ^m 82,	A_{15}	3·3 mm;
E. unbestimmbar.			

V. . . B.	15 ^h 58 ^m 72;	M_1	16 ^h 0 ^m 68,	A_1	1·2 mm;
		M_2	16 ^h 3 ^m 47,	A_2	3·6 mm;
		M_3	16 ^h 9 ^m 94,	A_3	8·8 mm;
		M_4	16 ^h 13 ^m 62,	A_4	8·5 mm;
		Max.	16 ^h 19 ^m 62,	A_m	15·9 mm;
		M_6	16 ^h 23 ^m 04,	A_6	8·7 mm;
		M_7	16 ^h 29 ^m 30,	A_7	4·8 mm;
		M_8	16 ^h 42 ^m 66,	A_8	3·6 mm;
		M_9	16 ^h 49 ^m 90,	A_9	3·0 mm;

es folgen noch einige mindere Stöße; eine neuerliche Verdickung von 16^h 58^m 07 bis 17^h 55^m 35, A_m 1·2 mm.

E. . . B.	16 ^h 0 ^m 97;	M_1	16 ^h 3 ^m 76,	A_1	3·0 mm;
		M_2	16 ^h 6 ^m 55,	A_2	3·4 mm;
		Max.	16 ^h 13 ^m 09,	A_m	5·2 mm;
		M_4	16 ^h 19 ^m 91,	A_4	3·8 mm;
		M_5	16 ^h 23 ^m 19,	A_5	3·2 mm;

abermalige Zunahme der Schwingungen von 17^h 2^m 31 bis 17^h 28^m 37;

M_6	17 ^h 6 ^m 54,	A_6	3·2 mm;
E. unbestimmbar.			

Nr. 69. 28. März 1902:

- (> *N...* B. 21^h 15^m67; M_1 21^h 17^m05, A_1 2·0 *mm*;
 M_2 21^h 20^m08, A_2 3·0 *mm*;
 Max. 21^h 29^m46, A_m 3·2 *mm*;
 E. 22^h 12^m22.

V... Schwache Verdickung der Kurve zwischen 21^h13^m86 und 21^h 58^m68 mit A_m 1·2 *mm*.

E... Kontinuierliche Unruhe, A_m 1·2 *mm*.

Nr. 70. 2. April 1902:

- (> *N...* B. 6^h 15^m41; Max. 6^h 19^m23, A_m 3·2 *mm*; E. 6^h 47^m26.
V... Ruhig.
E... Kontinuierliche mikroseismische Unruhe.

Nr. 71. 2. April 1902:

- (> *N...* B. 8^h 13^m49; Max. 8^h 16^m96, A_m 2·5 *mm*; E. 8^h 39^m60.
V... Ruhig.
E... Anhaltende mikroseismische Bewegung.

Nr. 72. 3. April 1902:

- <> *N...* Zwischen 11^h30^m87 und 11^h52^m95 eine Anschwellung mit Max. von 11^h 34^m45 bis 11^h 41^m98.
 A_m 2·0 *mm*.
V... Ruhig.
E... Kaum bemerkbare Unruhe.

Nr. 73. 3. April 1902:

- N...* Von 18^h 31^m09 bis 18^h 33^m16 sehr schwache Anschwellung.
V... Bei 18^h 31^m07, A 1·0 *mm*.
E... Mikroseismisch bewegt.

Nr. 74. 3. April 1902:

N... Von 22^h 48^m01 bis 23^h 12^m04 kleine Anschwellung,

Max: 22^h 54^m47 bis 22^h 57^m21, A_m 1·5 *mm*.

V... Von 22^h 49^m49 bis 22^h 59^m65 sehr schwache Anschwellung, A_m 0·9 *mm*.

E... Unruhig.

Nr. 75. 4. April 1902:

<> N... B. 5^h 4^m33; M_1 5^h 8^m11, A_1 1·8 *mm*;

Max. 5^h 32^m24, A_m 2·0 *mm*; E. 5^h 58^m06.

V... Ruhig.

E... Fast ruhig.

Nr. 76. 5. April 1902:

(> N... B. 20^h 17^m52; M_1 20^h 18^m47, A_1 1·6 *mm*;

M_2 20^h 19^m16, A_2 2·2 *mm*;

Max. 20^h 24^m10, A_m 2·8 *mm*;

von 20^h 36^m71 bis 21^h 1^m37 eine zweite schwächere Anschwellung mit A_m 1·5 *mm*; E. 21^h 12^m32.

V... Von 20^h 17^m77 bis 20^h 45^m17 schwache Stöße, A_m 1·2 *mm*.

E... Leichte anhaltende Unruhe.

Nr. 77. 7. April 1902:

(> N... B. 7^h 38^m48; Max. 7^h 39^m74, A_m 2·2 *mm*; E. 7^h 55^m51.

V... B. 7^h 38^m59; Max. 7^h 41^m66, A_m 1·3 *mm*;

E. unbestimmbar.

E... Tagsüber mikroseismisch bewegt.

Nr. 78. 7. April 1902:

<> N... B. und E. infolge mikroseismischer Unruhe nicht bestimmbar.

M_1 14^h 16^m89, A_1 1·6 *mm*;

M_2 14^h 28^m46, A_2 2·3 *mm*;

Max. 14^h 32^m54 und 14^h 42^m06, A_m 2·7 *mm*.

V... M_1 14^h 17^m14, A_1 1·0 mm;

Max. 14^h 33^m20, A_m 2 0 mm;

M_3 14^h 42^m17, A_3 1·3 mm;

E... Anhaltende mikroseismische Unruhe.

Nr. 79. 9. April 1902:

N... Von 9^h 24^m05 bis 9^h 50^m26 Anschwellung;

Max. 9^h 28^m19 bis 9^h 30^m25, A_m 1·6 mm.

V... Kaum bemerkbare Unruhe.

E... Tagsüber bewegt.

Nr. 80. 9. April 1902:

> N... B. 20^h 32^m02; Max. 20^h 32^m98, A_m 1·4 mm;
E. 20^h 57^m31.

V... Zwischen 20^h 31^m99 und 20^h 47^m19 eine sehr schwache Anschwellung mit kaum A_m 1·0 mm.

E... Ruhig.

Nr. 81. 11. April 1902:

> N... B. 20^h 7^m27; M_1 20^h 8^m09, A_1 1·2 mm;
Max. 20^h 8^m78, A_m 5·7 mm;
 M_3 20^h 10^m27, A_3 3·5 mm;
 M_4 20^h 12^m60, A_4 4·8 mm;
 M_5 20^h 16^m43, A_5 3·5 mm;
E. 20^h 49^m37.

V... B. 20^h 8^m07; M_1 20^h 8^m47, A_1 1·7 mm;
Max. 20^h 9^m84, A_m 3·0 mm;
 M_3 20^h 12^m17, A_3 2·0 mm;
 M_4 20^h 17^m22, A_4 1·8 mm;
E. 20^h 37^m32.

E... B. 20^h 8^m36; M_1 20^h 8^m63, A_1 2·1 mm;
Max. 20^h 10^m27, A_m 3·1 mm;
E. 20^h 51^m27.

Nr. 82. 12. April 1902:

- <> N... B. 1^h 1^m06; M_1 1^h 4^m17, A_1 1·3 mm;
 M_2 1^h 14^m10, A_2 2·5 mm;
 M_3 1^h 20^m90, A_3 3·5 mm;
 Max. 1^h 29^m42, A_m 4·7 mm;
 M_5 1^h 38^m78, A_5 3·6 mm;
 M_6 1^h 53^m12, A_6 2·4 mm;
 M_7 2^h 5^m17, A_7 2·7 mm;
 M_8 2^h 10^m41, A_8 2·6 mm;
 M_9 2^h 19^m36, A_9 3·0 mm; E. 2^h 59^m07.
 V... B. 1^h 0^m88; M_1 1^h 7^m97, A_1 1·0 mm;
 M_2 1^h 13^m21, A_2 2·0 mm;
 Max. 1^h 18^m18, A_m 2·9 mm;
 M_4 1^h 28^m54, A_4 2·2 mm;

folgen noch einige schwächere Stöße; E. 2^h 28^m09.

E... Anhaltende schwache Unruhe; A_m 1·5 mm.

Nr. 83. 13. April 1902:

N... Schwache Anschwellung,

B. 23^h 18^m60; Max. 23^h 39^m75, A_m 1·3 mm; E. bei 24^h.

V... Ruhig.

E... Von 23^h 35^m07 bis 23^h 40^m56, A 1·4 mm.

Nr. 84. 17. April 1902:

- <> N... B. 22^h 17^m84; M_1 22^h 22^m62, A_1 1·2 mm;
 M_2 22^h 28^m62, A_2 2·4 mm;
 Max. 22^h 37^m62, A_m 4·0 mm;
 M_4 22^h 44^m06, A_4 3·2 mm;
 M_5 22^h 49^m89, A_5 3·2 mm;
 E. 23^h 28^m07.
 V... B. 22^h 17^m82; M_1 22^h 25^m06, A_1 1·0 mm;
 Max. 22^h 28^m33, A_m 1·7 mm;

folgen mehrere schwächere Stöße bis 22^h 50^m14;

E. 23^h 5^m14.

E. . . B. 22^h 17^m70; M_1 22^h 24^m25, A_1 2·5 mm;
 M_2 22^h 29^m44, A_2 2·5 mm;
 M_3 22^h 50^m57, A_3 1·6 mm;
 E. 23^h 20^m43.

Nr. 85. 19. April 1902:

(> N. . . B. 3^h 36^m88; M_1 3^h 37^m86, A_1 13·2 mm;
 M_2 3^h 46^m51, A_2 13·0 mm;
 Max. 3^h 48^m89, A_m 38·0 mm;
 M_4 3^h 56^m98, A_4 20·4 mm;
 M_5 4^h 10^m51, A_5 37·5 mm;
 M_6 4^h 16^m65, A_6 23·8 mm;
 M_7 4^h 26^m83, A_7 23·5 mm;
 M_8 4^h 32^m41, A_8 16·8 mm;
 M_9 4^h 39^m82, A_9 10·2 mm;
 M_{10} 4^h 52^m37, A_{10} 7·7 mm;
 M_{11} 5^h 3^m25, A_{11} 4·2 mm;

hierauf noch eine Reihe an Intensität abnehmender
 Stöße, bei 5^h 57^m95 noch A 2·0 mm; schwache
 Unruhe dauert bis gegen 7^h fort.

V. . . B. 3^h 36^m85; M_1 3^h 37^m28, A_1 4·3 mm;
 M_2 3^h 40^m90, A_2 7·2 mm;
 M_3 3^h 42^m86, A_3 10·0 mm;
 Max. 3^h 49^m27, A_m 23·0 mm;
 M_5 3^h 54^m30, A_5 19·2 mm;
 M_6 3^h 57^m51, A_6 16·5 mm;
 M_7 4^h 11^m87, A_7 17·0 mm;
 M_8 4^h 16^m34, A_8 13·0 mm;
 M_9 4^h 22^m34, A_9 8·7 mm;
 M_{10} 4^h 34^m48, A_{10} 4·6 mm;

folgt eine Reihe schwächer werdender Stöße; bei
 5^h 15^m91 noch A 1·5 mm; schwache Unruhe
 dauert bis gegen 7^h fort.

E . . . B. 3^h 37^m28; M_1 3^h 38^m54, A_1 2·4 *mm*;
 M_2 3^h 41^m33, A_2 4·6 *mm*;
 Max. 3^h 48^m87, A_m 9·0 *mm*;
 M_4 3^h 51^m94, A_4 6·5 *mm*;
 M_5 4^h 2^m68, A_5 3·5 *mm*;
 M_6 4^h 10^m63, A_6 4·5 *mm*;
 M_7 4^h 12^m45, A_7 3·8 *mm*;

schwächere Unruhe fortdauernd.

Nr. 86. 21. April 1902:

<> *N* . . . B. 18^h 49^m58; Max. 19^h 0^m92, A_m 1·7 *mm*;
E. 19^h 49^m72.
V . . . B. 18^h 53^m25; Max. 18^h 57^m35, A_m 1·6 *mm*;
E. 19^h 49^m29.
E . . . Tagsüber mikroseismisch unruhig.

Nr. 87. 22. April 1902:

N . . . Schwache Anschwellung, B. und *E*. unbestimmbar;
 Max. 17^h 31^m67, A_m 2·0 *mm*.
V . . . Etwas bewegt.
E . . . Ziemlich bewegt.

Nr. 88. 26. April 1902:

N . . . Von 0^h 20^m72 bis 1^h 22^m93 leichte Anschwellung;
 Max. 0^h 59^m20, A_m 1·4 *mm*.
V . . . Leichte Unruhe.
E . . . » »

Nr. 89. 26. April 1902:

> *N* . . . B. 9^h 22^m20; Max. 9^h 23^m03, A_m 2·8 *mm*; *E*. 9^h 38^m68.
V . . . B. 9^h 22^m31; Max. 9^h 23^m28, A_m 2·8 *mm*; *E*. 9^h 36^m16.
E . . . B. 9^h 22^m74; Max. 9^h 23^m84, A_m 7·2 *mm*;
E. unbestimmbar

Nr. 90. 27. April 1902:

- > N... B. 2^h 3^m04; M_1 2^h 4^m41, A_1 1·0 mm;
 Max. 2^h 7^m42, A_m 4·2 mm;
 M_3 2^h 9^m61, A_3 3·6 mm; E. 2^h 41^m12.
 V... B. 2^h 3^m29; M_1 2^h 4^m93, A_1 1·2 mm;
 Max. 2^h 7^m12, A_m 3·5 mm;
 M_3 2^h 9^m86, A_3 2·4 mm; E. 2^h 30^m40.
 E... Tagsüber starke mikroseismische Unruhe.

Nr. 91. 1. Mai 1902:

- N... Von 4^h 14^m68 bis 4^h 55^m41 leichte Anschwellungen,
 A_m 1·2 mm.
 V... Kaum bemerkbare Unruhe.
 E... » » »

Nr. 92. 2. Mai 1902:

- <> N... B. 12^h 48^m80; bis 13^h 12^m12 eine Reihe Stöße mit
 A_m 2·1 mm; von 13^h 12^m81 an folgt eine zweite
 Serie stärkerer Stöße bis 13^h 49^m62;
 Max. 13^h 24^m32, A_m 3·5 mm; E. 14^h 36^m84.
 V... Von 12^h 52^m93 bis 13^h 35^m98 eine Reihe schwacher
 Stöße;
 Max. 13^h 17^m92, A_m 1·5 mm.
 E... Tagsüber schwache Unruhe, während der Störung
 A_m 1·5 mm.

Nr. 93. 6. Mai 1902:

- > N... B. 4^h 0^m41; Max. 4^h 1^m10, A_m 1·3 mm; E. 4^h 20^m19.
 V... B. 4^h 0^m53; M_1 4^h 0^m93, A_1 1·5 mm;
 Max. 4^h 2^m57, A_m 1·8 mm; E. 4^h 13^m62.
 E... Tagsüber mikroseismische Unruhe.

Nr. 94. 6. Mai 1902:

- (> N... B. 17^h 47^m99; Max. 17^h 48^m82, A_m 1·5 mm;
 E. 17^h 59^m36.
 V... B. 17^h 48^m24; Max. 17^h 48^m80, A_m 1·7 mm;
 E. 17^h 56^m84.
 E... B. 17^h 47^m71; Max. 17^h 50^m20, A_m 2·2 mm;
 E. 18^h 4^m06.

Nr. 95. 8. Mai 1902:

- <> N... B. 3^h 31^m86; M_1 3^h 32^m29, A_1 1·2 mm;
 M_2 3^h 44^m88, A_2 3·3 mm;
 M_3 3^h 53^m55, A_3 3·2 mm;

hierauf Abnahme, neuerliche Anschwellung;

- M_4 4^h 6^m33, A_4 2·8 mm;
 Max. 4^h 15^m59, A_m 8·0 mm;
 M_6 4^h 20^m71, A_6 3·4 mm; E. 4^h 39^m93.
 V... B. 3^h 31^m97; M_1 3^h 32^m54, A_1 1·0 mm;
 M_2 3^h 43^m88, A_2 2·7 mm;

folgen schwächere Stöße mit A_m 1·0 mm; abermalige Zunahme,

- Max. 4^h 6^m71, A_m 5·0 mm;
 M_4 4^h 11^m14, A_4 3·3 mm;
 M_5 4^h 13^m22, A_5 3·6 mm; E. 3^h 34^m64.
 E... B. 3^h 32^m69; M_1 3^h 32^m97, A_1 1·3 mm;
 Max. 3^h 37^m86, A_m 1·8 mm;
 E. unbestimmbar.

Nr. 96. 9. Mai 1902:

- N... Von 1^h 37^m83 bis 2^h 37^m55 schwache Anschwellung;
 Max. 1^h 46^m20 bis 1^h 49^m68, A_m 1·4 mm.

V... Sehr schwache Unruhe.

E... » » »

Nr. 97. 10. Mai 1902:

<> N... B. 23^h 25^m05; M_1 23^h 28^m82, A_1 1·6 mm;
 Max. 23^h 38^m03, A_m 3·0 mm;
 M_3 23^h 48^m63, A_3 2·9 mm;

folgen noch einige Stöße mit A_m 2·0 mm;
 E. 24^h 27^m15.

V B. 23^h 25^m15; von 23^h 25^m30 bis 23^h 26^m70, A_1 1·1 mm;
 Max. 23^h 33^m96, A_m 1·4 mm; E. 24^h 9^m96.

E... B. 23^h 25^m59; Max. 23^h 33^m54, A_m 2·3 mm;
 E. 24^h 0^m19.

Nr. 98. 12. Mai 1902:

> N... B. 10^h 27^m35; M_1 10^h 27^m63, A_1 1·6 mm;
 Max. 10^h 29^m01, A_m 2·3 mm;
 E. 10^h 35^m92.

V... B. 10^h 27^m47; Max. 10^h 29^m26, A_m 1·2 mm;
 E. 10^h 38^m94.

E... Von 10^h 28^m17 bis 10^h 43^m38 Anschwellung,
 A_m 1·7 mm.

Nr. 99. 19. Mai 1902:

(> N... B. 19^h 6^m74; Max. 19^h 9^m24, A_m 2·3 mm; E. 20^h 5^m49.

V Von 19^h 8^m51 bis 19^h 17^m41 schwache Stöße,
 A_m 1·5 mm.

E... Tagsüber kontinuierliche Unruhe.

Nr. 100. 25. Mai 1902:

<> N... B. 17^h 58^m66; M_1 18^h 9^m71, A_1 2·4 mm;

folgt eine Reihe fast ebenso starker Stöße bis
 18^h 33^m37;

M_2 18^h 35^m28, A_2 3·8 mm;

Max. 18^h 40^m74, A_m 5·0 mm;

M_4 18^h 48^m94, A_4 3·0 mm;

M_5 18^h 55^m24, A_5 3·5 mm; E. 19^h 21^m21.

V Tagsüber mikroseismische Unruhe.

E...

Nr. 101. 26. Mai 1902:

- (> N... B. 5^h 16^m25; M_1 5^h 18^m44, A_1 1·4 mm;
 M_2 5^h 21^m19, A_2 11·0 mm;
 Max. 5^h 23^m25, A_m 30·0 mm;
 M_4 5^h 29^m57, A_4 6·8 mm;
 M_5 5^h 37^m93, A_5 9·0 mm; E. 6^h 24^m35.
 V... B. 5^h 16^m64; M_1 5^h 17^m32, A_1 3·0 mm;
 M_2 5^h 21^m17, A_2 7·0 mm.
 Max. 5^h 23^m50, A_m 20·0 mm;
 M_4 5^h 28^m99, A_4 13·4 mm;
 M_5 5^h 32^m97, A_5 4·3 mm;
 M_6 5^h 38^m73, A_6 3·5 mm;

E. infolge anhaltender mikroseismischer Unruhe
 unbestimmbar.

- E... B. 5^h 16^m93; M_1 5^h 17^m61, A_1 1·4 mm;
 M_2 5^h 20^m50, A_2 1·9 mm;
 Max. 5^h 23^m65, A_m 12·0 mm;
 M_4 5^h 27^m22, A_4 7·0 mm;
 M_5 5^h 30^m66, A_5 6·7 mm; E. 6^h 7^m04.

Pendelversetzung:

Pendel N... 0·7 mm nach Südwesten,
 E... 1·5 mm nach Süden.

Nr. 102. 26. Mai 1902:

- > N... B. 12^h 32^m65; Max. 12^h 33^m35, A_m 4·8 mm;
 M_2 12^h 35^m44, A_2 3·8 mm;
 E. 13^h 3^m42.
 V... B. 12^h 32^m48; Max. 12^h 35^m83, A_m 3·3 mm;
 M_2 12^h 41^m39, A_2 2·3 mm;

E. wegen kontinuierlicher Unruhe nicht bestimmbar.

- E... B. 12^h 32^m22; Max. 12^h 35^m15, A_m 6·7 mm;
 M_2 12^h 39^m59, A_2 3·0 mm;
 E. 13^h 15^m09.

Nr. 103. 26. Mai 1902:

(> N... B. 14^h 18^m42; Max. 14^h 26^m27, A_m 2·3 mm;
 von 14^h 36^m68 bis 14^h 50^m59 eine zweite Anschwellung mit A_m 1·5 mm; E. 14^h 51^m94.

V... Schwache andauernde Unruhe.

E... » » »

Nr. 104. 27. Mai 1902:

(> N... B. 18^h 40^m87; Max. 18^h 43^m08, A_m 1·7 mm;
 E. 18^h 59^m86.

V... B. 18^h 40^m85; Max. 18^h 42^m92, A_m 1·1 mm;
 E. 18^h 49^m11.

E... Von 18^h 41^m14 bis 18^h 43^m21 knotenförmige Anschwellung, A_m 1·5 mm.

Nr. 105. 28. Mai 1902:

N... Von 4^h 24^m16 bis 4^h 29^m35 schwache Anschwellung;
 Max. 4^h 25^m53, A_m 1·2 mm.

V... Ruhig.

E... Kaum bewegt.

Nr. 106. 28. Mai 1902:

N... Von 6^h 16^m89 bis 6^h 22^m64 schwache Anschwellung;
 Max. 6^h 17^m71, A_m 1·2 mm.

V... Schwache Unruhe; Max. 6^h 17^m96, A_m 1·1 mm.

E... Von 6^h 16^m34 bis 6^h 24^m82 Anschwellung;
 Max. 6^h 17^m43 bis 6^h 20^m45, A_m 1·9 mm.

Nr. 107. 28. Mai 1902:

> N... B. 10^h 23^m18; M_1 10^h 24^m52, A_1 2·4 mm;
 folgt eine Reihe fast gleichmäßiger Stöße mit
 A 2·0 mm;

M_2 10^h 56^m00, A_2 2·8 mm;

Max. 11^h 0^m98, A_m 3·0 mm; E. 11^h 36^m23.

V... B. 10^h 23^m03; Max. 10^h 25^m18, A_m 2·0 *mm*;
 folgen eine Reihe schwächerer Stöße, A 1·2 *mm*;
 E. 11^h 41^m86.

E... Anhaltende Pendelunruhe.

Nr. 108. 29. Mai 1902:

- (> N... B. 23^h 44^m79; Max. 23^h 47^m32, A_m 2·0 *mm*;
 E. 24^h 25^m25.
 V... B. 23^h 45^m18; Max. 23^h 46^m44, A_m 2·2 *mm*;
 E. unbestimmbar.
 E... Von 23^h 45^m61 bis 23^h 50^m53 Anschwellung,
 A 2·0 *mm*.

Nr. 109. 7. Juni 1902:

- (> N... B. 21^h 19^m71; M_1 21^h 20^m40, A_1 1·0 *mm*;
 Max. 21^h 25^m59, A_m 2·5 *mm*;
 E. 21^h 45^m06.
 V... B. 21^h 19^m96; Max. 21^h 22^m01 bis 21^h 24^m47,
 A_m 1·4 *mm*; E. 21^h 31^m61.
 E... B. 21^h 19^m84; M_1 21^h 20^m11, A_1 1·9 *mm*;
 M_2 21^h 21^m89, A_2 1·9 *mm*;
 E. 21^h 46^m97.

Nr. 110. 8. Juni 1902:

- <> N... B. 14^h 37^m31; Max. 14^h 52^m42, A_m 2·1 *mm*;
 E. 15^h 25^m61.
 V... Ruhig.
 E... Tagsüber unruhig.

Nr. 111. 11. Juni 1902:

- <> N... B. 7^h 22^m63; M_1 7^h 29^m33, A_1 1·6 *mm*;
 M_2 7^h 38^m57, A_2 2·2 *mm*;
 M_3 7^h 42^m21, A_3 3·5 *mm*;
 M_4 7^h 50^m03, A_4 12·0 *mm*;
 Max. 7^h 55^m35, A_m 29·0 *mm*;

M_6 7^h 58^m 99, A_6 24·0 mm;
 M_7 8^h 3^m 04, A_7 23·0 mm;
 M_8 8^h 11^m 98, A_8 5·2 mm;
 M_9 8^h 25^m 65, A_9 5·8 mm;
 M_{10} 8^h 42^m 11, A_{10} 2·8 mm; E. 9^h 4^m 43.

V... B. 7^h 24^m 03; M_1 7^h 29^m 91, A_1 1·0 mm;
 M_2 7^h 41^m 37, A_2 2·2 mm;
 M_3 7^h 46^m 00, A_3 3·3 mm;
 M_4 7^h 52^m 85, A_4 9·4 mm;
 Max. 7^h 56^m 05, A_m 11·6 mm;
 M_6 7^h 59^m 28, A_6 8·5 mm;
 M_7 8^h 1^m 65; A_7 8·7 mm;
 M_8 8^h 4^m 86, A_8 5·2 mm;
 M_9 8^h 13^m 10, A_9 3·0 mm;
 M_{10} 8^h 21^m 47, A_{10} 3·2 mm; E. 8^h 50^m 77.
 E... B. 7^h 25^m 87; M_1 7^h 27^m 82, A_1 1·1 mm;
 Max. 7^h 54^m 11, A_m 2·0 mm;

E. unbestimmbar.

Nr. 112. 13. Juni 1902:

<> N... B. 1^h 44^m 61; Max. 2^h 20^m 17, A_m 1·9 mm;
 E. 2^h 43^m 08.

V... Schwach bewegt.

E... » » »

Nr. 113. 15. Juni 1902:

<> N... B. 13^h 40^m 59; Max. 13^h 53^m 71, A_m 1·5 mm;
 E. 14^h 19^m 95.

V... Sehr schwach bewegt.

E... » » »

Nr. 114. 15. Juni 1902:

N... Von 17^h 18^m 12 bis 18^h 14^m 37 schwache Anschwel-
 lungen, A_m 1·3 mm.

V... Sehr schwach bewegt.

E... » » »

Nr. 115. 16. Juni 1902:

- <> N... B. 2^h 45^m53; M_1 2^h 46^m09, A_1 1·1 mm;
 M_2 3^h 6^m04, A_2 2·6 mm;
 M_3 3^h 13^m07, A_3 3·9 mm;
 M_4 3^h 20^m37, A_4 3·9 mm; E. 3^h 59^m43.
 V... B. 2^h 45^m82; M_1 2^h 46^m66, A_1 1·2 mm;
 M_2 3^h 7^m17, A_2 1·7 mm;
 M_3 3^h 27^m41, A_3 1·7 mm; E. 3^h 49^m89.
 E... Schwache Unruhe.

Nr. 116. 18. Juni 1902:

- <> N... B. 0^h 58^m00; Max. 1^h 8^m90, A_m 1·8 mm; E. 2^h 4^m84.
 V... Schwache Unruhe.
 E... » »

Nr. 117. 19. Juni 1902:

- (> N... Zwischen 6^h 16^m21 und 6^h 52^m26 eine Reihe schwacher Anschwellungen mit Max. von 6^h 16^m89 bis 6^h 18^m25, A_m 1·5 mm.
 V... Sehr schwache Anschwellungen, A_m kaum 1·0 mm.
 E... Schwache Unruhe.

Nr. 118. 19. Juni 1902:

- > N... B. 10^h 23^m53; Max. 10^h 23^m80, A_m 2·0 mm;
 E. 10^h 45^m67.
 V... B. 10^h 23^m68; Max. 10^h 24^m23, A_m 1·3 mm;
 E. 10^h 37^m76.
 E... Von 10^h 23^m55 bis 10^h 24^m77 knotenförmige Bildungen, A_m 1·3 mm.

Nr. 119. 21. Juni 1902:

- <> N... B. 23^h 12^m14; Max. 23^h 25^m12, A_m 1·3 mm;
 E. unbestimmbar.
 V... Von 23^h 25^m82 bis 23^h 27^m50, A 1·0 mm.
 E... Schwach bewegt.

Nr. 120. 22. Juni 1902:

- (> N... B. 4^h 37^m 41; M_1 4^h 37^m 83, A_1 1·2 mm;
 M_2 4^h 42^m 63, A_2 2·7 mm;
 Max. 4^h 47^m 23, A_m 4·2 mm;
 M_4 4^h 53^m 85, A_4 3·1 mm;
 M_5 4^h 59^m 34, A_5 1·8 mm; E. 5^h 20^m 16.
- V... B. 4^h 37^m 70; M_1 4^h 38^m 93, A_1 1·2 mm;
 Max. 4^h 48^m 95, A_m 3·6 mm;
 M_3 4^h 53^m 05, A_3 2·8 mm;
 M_4 5^h 1^m 42, A_4 2·8 mm; E. 5^h 43^m 74.
- E... Fortwährend schwache Unruhe.

Nr. 121. 22. Juni 1902:

- N... Von 6^h 10^m 88 bis 6^h 26^m 81 schwache Anschwellung;
 Max. 6^h 16^m 92, A_m 1·6 mm.
- V... Fast ruhig.
- E... Leicht bewegt.

Nr. 122. 23. Juni 1902:

- <> N... Schwache, kaum bemerkbare Unruhe.
- V... B. 9^h 35^m 01; Max. 9^h 41^m 53, A_m 1·3 mm;
 E. 9^h 50^m 95.
- E... Schwache Unruhe.

Nr. 123. 25. Juni 1902:

- > N... B. 2^h 23^m 81; M_1 2^h 24^m 49, A_1 1·9 mm;
 Max. 2^h 30^m 06, A_m 2·3 mm; E. 2^h 55^m 17.
- V... B. 2^h 23^m 15; Max. 2^h 28^m 03, A_m 3·2 mm;
 E. 2^h 44^m 60.
- E... Von 2^h 25^m 33 bis 2^h 26^m 95 schwache Anschwellung,
 A_m 1·5 mm.

Nr. 124. 27. Juni 1902:

- > *N...* B. 17^h 49^m93; Max. 17^h 51^m29, A_m 1·9 *mm*;
 E. 18^h 9^m53.
V... B. 17^h 49^m54; Max. 17^h 51^m04, A_m 1·8 *mm*;
 E. 18^h 4^m33.
E... B. 17^h 49^m68; Max. 17^h 50^m91, A_m 2·3 *mm*;
 M_2 17^h 57^m22, A_2 1·9 *mm*;
 E. 18^h 16^m13.

Nr. 125. 28. Juni 1902:

- > *N...* B. 9^h 47^m49; Max. 9^h 48^m89, A_m 2·0 *mm*;
 E. 10^h 2^m59.
V... B. 9^h 47^m78; Max. 9^h 48^m75, A_m 1·6 *mm*;
 E. 10^h 1^m48.
E... B. 9^h 47^m24; Max. 9^h 48^m92, A_m 2·0 *mm*;
 E. 10^h 19^m13.

Nr. 126. 30. Juni 1902:

- N...* Von 4^h 4^m99 bis 4^h 18^m97 Anschwellung;
 Max. 4^h 11^m56 bis 4^h 11^m83, A_m 1·4 *mm*.
V... Ruhig.
E... Kaum bemerkbare Unruhe.

Nr. 127. 30. Juni 1902:

- (> *N...* B. 11^h 28^m33, Max. 11^h 33^m59, A_m 2·0 *mm*;
 E. 11^h 46^m90.
V... Ruhig.
E... B. 11^h 28^m35; Max. 11^h 33^m20, A_m 1·5 *mm*;
 E. 11^h 41^m10.

Nr. 128. 3. Juli 1902:

- <> *N...* B. 16^h 58^m27; Max. 17^h 6^m95, A_m 1·7 *mm*;
 E. 17^h 29^m39.
V... Schwache Unruhe.
E... Fast ruhig.

Nr. 129. 4. Juli 1902:

- <> N... B: 2^h 56^m92; Max. 2^h 57^m32, A_m 1·4 mm; E. 3^h 22^m08.
 V... Von 2^h 57^m35 bis 3^h 8^m92 schwache Unruhe.
 E... B: 2^h 56^m67; M_1 2^h 57^m34, A_1 1·1 mm;
 Max. 3^h 1^m65, A_m 1·3 mm; E. 3^h 11^m74.

Nr. 130. 5. Juli 1902:

- (> N... B. 13^h 1^m15; Max. 13^h 4^m50, A_m 1·3 mm;
 E. 13^h 15^m38.
 V... B. 13^h 2^m42; Max. 13^h 2^m69, A_m 1·6 mm;
 E. 13^h 8^m70.
 E... B: 13^h 1^m60; Max. 13^h 2^m15, A_m 1·6 mm;
 E: 13^h 13^m74.

Nr. 131. 5. Juli 1902:

- (> N... B. 15^h 57^m55; M_1 15^h 58^m39, A_1 1·7 mm;
 M_2 16^h 0^m75, A_2 20·5 mm;

bei 16^h 1^m22 fand eine Versetzung aller Pendel statt,
 Aufzeichnung wurde undeutlich. Das N-Pendel
 versetzte sich nach Nordosten um 26·6 mm;

- Max. 16^h 6^m29, A_m 35·0 mm;
 M_4 16^h 10^m19, A_4 31·0 mm;
 M_5 16^h 14^m63, A_5 7·4 mm;
 M_6 16^h 17^m01, A_6 6·2 mm;
 M_7 16^h 19^m92, A_7 5·2 mm;

folgen mehrere kleinere Stöße, A_m 3·5 mm; hierauf
 Abnahme; neuerliche Zunahme von 16^h 36^m88
 bis 16^h 46^m75 und von 16^h 52^m16 bis 17^h 16^m50
 mit A_m 2·4 mm. E. unbestimmbar.

- V... B. 15^h 58^m16; M_1 15^h 58^m72, A_1 3·7 mm;
 M_2 16^h 1^m21, A_2 12·0 mm;

bei 16^h 1^m22 findet die Pendelversetzung statt und
 zwar nach Südosten um 1·7 mm;

Max. 16^h 6^m73, A_m 28·8 mm;
 M_4 16^h 8^m68, A_4 27·8 mm;
 M_5 16^h 11^m45, A_5 14 8 mm;
 M_6 16^h 18^m55, A_6 5·8 mm;
 M_7 16^h 22^m72, A_7 3·0 mm;
 M_8 16^h 28^m54, A_8 2·7 mm;
 M_9 16^h 41^m47, A_9 2·1 mm; E. 17^h 1^m50.

E. . . B. 15^h 57^m76; M_1 15^h 58^m18, A_1 1·6 mm;
 M_2 16^h 0^m67, A_2 11·0 mm;

bei 16^h 1^m22 Pendelversetzung nach Süden um
 4·6 mm;

Max. 16^h 5^m91, A_m 18·0 mm;
 M_4 16^h 8^m28, A_4 10·0 mm;
 M_5 16^h 11^m32, A_5 8·6 mm;
 M_6 16^h 13^m83, A_6 4·5 mm;
 E. unbestimmbar.

Nr. 132. 5. Juli 1902:

N. . . B. 21^h 0^m20; Max. 21^h 0^m48, A_m 1·3 mm;
 E. 21^h 2^m84.

V. . . Von 21^h 0^m64 bis 21^h 12^m85, A_m 1·1 mm.

E. . . B. 21^h 0^m10; Max. 21^h 2^m02, A_m 2·0 mm;
 E. 21^h 20^m64.

Nr. 133. 5. Juli 1902:

> N. . . B. 21^h 51^m89; Max. 21^h 53^m39, A_m 1·7 mm,
 E. 22^h 16^m51.

V. . . B. 21^h 53^m01; Max. 21^h 53^m30, A_m 2·7 mm;
 E. 22^h 8^m40.

E. . . B. 21^h 51^m92; M_1 21^h 52^m62, A_1 2·4 mm;
 Max. 21^h 54^m29, A_m 3·4 mm;
 E. 22^h 13^m48.

Nr. 134. 6. Juli 1902:

- (> *N...* B. 3^h 9^m 17; Max. 3^h 9^m 87, A_m 1·3 mm; E. 3^h 15^m 48.
V... B. 3^h 9^m 88; Max. 3^h 10^m 15, A_m 1·3 mm; E. 3^h 26^m 98.
E... B. 3^h 8^m 64; Max. zwischen 3^h 10^m 32 und 3^h 16^m 35,
 A_m 1·5 mm; E. 3^h 27^m 84.

Nr. 135. 6. Juli 1902:

- > *N...* B. 4^h 8^m 16; M_1 4^h 10^m 62, A_1 4·5 mm;
 Max. 4^h 11^m 18, A_m 5·0 mm;
 M_3 4^h 14^m 87, A_3 3·5 mm; E. 4^h 38^m 44.

Schwache Unruhe folgt.

- V...* B. 4^h 9^m 96; Max. 4^h 11^m 33, A_m 6·5 mm;
 M_2 4^h 17^m 50, A_2 3·0 mm; E. 4^h 34^m 63.
E... B. 4^h 7^m 78; M_1 4^h 9^m 01, A_1 1·3 mm;
 M_2 4^h 10^m 64, A_2 7·0 mm;
 Max. 4^h 12^m 16, A_m 14·0 mm; E. 4^h 32^m 72.

Schwache Unruhe folgt.

Nr. 136. 6. Juli 1902:

- > *N...* B. 12^h 41^m 34; M_1 12^h 42^m 16, A_1 1·6 mm;
 Max. 12^h 47^m 68, A_m 1·7 mm;
 E. 13^h 6^m 99.
V... B. 12^h 41^m 89; Max. 12^h 42^m 44, A_m 2·8 mm;
 E. 12^h 58^m 71.
E... B. 12^h 41^m 50; Max. 12^h 42^m 06, A_m 2·1 mm;
 E. unbestimmbar.

Nr. 137. 6. Juli 1902:

- > *N...* B. 14^h 23^m 75; M_1 14^h 24^m 16, A_1 2·8 mm;
 M_2 14^h 27^m 65, A_2 3·6 mm;
 Max. 14^h 37^m 72 und 14^h 39^m 34, A_m 8·7 mm;
 M_5 14^h 42^m 55, A_5 7·0 mm;
 M_6 14^h 43^m 76, A_6 7·0 mm;
 M_7 14^h 51^m 41, A_7 8·2 mm;
 M_8 14^h 57^m 05, A_8 3·2 mm;

nach Abnahme erscheinen von 15^h 7^m65 bis
15^h 26^m05 wieder mehrere stärkere Stöße mit
 A_m 3·5 *mm*, sodann noch einige schwächere
bis 16^h 3^m63, A 2·0 *mm*; E. 16^h 35^m84.

V... B. 14^h 24^m18; M_1 14^h 24^m58, A_1 2·0 *mm*;
 M_2 14^h 27^m54, A_2 3·4 *mm*;
Max. 14^h 35^m87, A_m 6·8 *mm*;
 M_4 14^h 43^m25, A_4 4·5 *mm*;
 M_5 14^h 47^m68, A_5 4·6 *mm*;
 M_6 14^h 49^m69, A_6 4·6 *mm*;

folgen noch einige schwache Stöße mit A_m 2·3 *mm*;
E. 16^h 14^m66.

E... B. 14^h 23^m64; M_1 14^h 24^m04, A_1 1·2 *mm*;
Max. 14^h 31^m43, A_m 1·8 *mm*;
E. 15^h 51^m29.

Nr. 138. 7. Juli 1902:

> N... B. 0^h 37^m71; M_1 0^h 38^m25, A_1 2·0 *mm*;
Max. 0^h 39^m07 bis 0^h 40^m03, A_m 2·3 *mm*;
E. 1^h 1^m62.

V... B. 0^h 38^m14; Max. 0^h 38^m95, A_m 3·2 *mm*; E. 1^h 1^m91.
E... B. 0^h 37^m46; Max. 0^h 38^m14, A_m 4·3 *mm*; E. 1^h 2^m74.

Nr. 139. 8. Juli 1902:

N... Von 15^h 20^m74 bis 16^h 36^m02 Anschwellung;
Max. 16^h 2^m70 bis 16^h 11^m04, A_m 1·8 *mm*;

V... Schwache Unruhe.

E... Ruhig.

Nr. 140. 9. Juli 1902:

(> N... B. 4^h 50^m30, M_1 4^h 50^m98, A_1 2·0 *mm*;
 M_2 5^h 0^m25, A_2 5·1 *mm*;
Max. 5^h 2^m56, A_m 5·4 *mm*;
 M_4 5^h 7^m33, A_4 5·3 *mm*;

bei 5^h 17^m 98 noch eine A 2·6 mm ; folgen noch
· einige sehr schwache Stöße; E. 5^h 54^m 80.

V... B. 4^h 46^m 91; M_1 4^h 51^m 27, A_1 1·9 mm ;

Max. 5^h 0^m 81, A_m 4·0 mm ;

bei 5^h 22^m 36 noch eine A 2·0 mm ; E. 5^h 37^m 36.

E... B. 4^h 44^m 73; M_1 4^h 51^m 55, A_1 2·0 mm ;

infolge Kreuzung mit anderen Kurven weitere Mes-
sungen unmöglich.

Nr. 141. 9. Juli 1902:

> N... B. 19^h 41^m 56; M_1 19^h 42^m 41, A_1 2·2 mm ;

Max. 19^h 46^m 45, A_m 3·4 mm ;

E. 20^h 14^m 22.

V... B. 19^h 42^m 56; Max. 19^h 42^m 98, A_m 3·6 mm ;

E. 19^h 54^m 97.

E... B. 19^h 40^m 76; Max. 19^h 43^m 27, A_m 4·2 mm ;

E. 20^h 5^m 59.

Nr. 142. 13. Juli 1902:

(> N... B. unbestimmbar; Max. 13^h 17^m 88, A_m 4·7 mm ;

M_2 13^h 22^m 00, A_2 4·5 mm ;

E. wegen des folgenden Bebens unbestimmbar.

V... B. unbestimmbar; Max. 13^h 22^m 43, A_m 2·3 mm ;

E. 13^h 36^m 47.

E... Mehrere schwache Knotenbildungen, A_m 1·4 mm .

Nr. 143. 13. Juli 1902:

> N... B. durch das vorangehende Beben gestört;

Max. 13^h 48^m 46 bis 13^h 49^m 69, A_m 2·0 mm ;

E. 14^h 9^m 06.

V... B. 13^h 49^m 98; Max. 13^h 50^m 27 bis 13^h 51^m 77,

A_m 2·1 mm ; E. 14^h 6^m 60.

E... B. 13^h 48^m 21; Max. 13^h 49^m 31, A_m 3·2 mm ;

E. 14^h 21^m 16.

Nr. 144. 15. Juli 1902:

- (> N... B. 9^h 0^m48; Max. 9^h 4^m09, A_m 2·0 mm; E. 9^h 36^m51.
 V... B. 8^h 57^m71; Max. 9^h 6^m32, A_m 1·9 mm; E. 9^h 31^m26.
 E... Ruhig.

Nr. 145. 19. Juli 1902:

- <> N... B. 23^h 40^m24; Max. 23^h 45^m11, A_m 1·3 mm;
 E. 23^h 50^m66.
 V... Schwache Unruhe, A_m kaum 1·0 mm.
 E... » » » » 1·0 mm.

Nr. 146. 20. Juli 1902:

- N... Zwischen 9^h 34^m93 und 9^h 44^m03 eine Anschwellung; A_m 1·1 mm.
 V... Zwischen 9^h 33^m41 und 9^h 47^m12 eine Anschwellung; A_m 1·6 mm.
 E... Zwischen 9^h 29^m79 und 9^h 46^m58 eine Anschwellung; A_m 1·1 mm.

Nr. 147. 20. Juli 1902:

- (> N... B. 10^h 1^m11; M_1 10^h 4^m00, A_1 2·1 mm;
 M_2 10^h 7^m71, A_2 4·0 mm;
 Max. 10^h 11^m56, A_m 7·0 mm;
 M_4 10^h 17^m06, A_4 5·4 mm;
 M_5 10^h 29^m59, A_5 2·6 mm;
 M_6 10^h 32^m07, A_6 2·9 mm;
 M_7 10^h 37^m85, A_7 2·8 mm;

von 10^h 43^m35 bis 11^h 12^m26 eine neue Reihe von Stößen mit A_m 2·4 mm; E. unbestimmbar.

- V... B. unbestimmbar; M_1 10^h 6^m21, A_1 1·6 mm;
 Max. 10^h 11^m99, A_m 3·7 mm;
 M_3 10^h 16^m12, A_3 2·7 mm;
 M_4 10^h 22^m17, A_4 2·5 mm;
 M_5 10^h 30^m70, A_5 2·0 mm;
 E. 10^h 53^m27.

E. Von $10^h 3^{m}47$ bis $10^h 11^{m}18$ knotenförmige Anschwellungen; $A_m 1.6 \text{ mm}$ bei $10^h 5^{m}67$.

Nr. 148. **21. Juli 1902:**

N. . . Von $10^h 45^{m}78$ bis $11^h 17^{m}64$ leichte Anschwellung;

Max. $10^h 50^{m}73$, $A_m 1.2 \text{ mm}$.

V Ruhig.

E. . . Schwache Unruhe.

Nr. 149. **22. Juli 1902:**

> *N.* . . B. $14^h 15^{m}91$; $M_1 14^h 17^{m}00$, $A_1 3.7 \text{ mm}$;
Max. $14^h 20^{m}02$, $A_m 4.0 \text{ mm}$;
E. $14^h 32^{m}35$.

V B. $14^h 16^{m}47$; Max. $14^h 18^{m}25$, $A_m 2.7 \text{ mm}$;
E. $14^h 34^{m}01$.

E. . . B. $14^h 15^{m}66$; Max. $14^h 17^{m}03$, $A_m 3.5 \text{ mm}$;
E. $14^h 38^{m}94$.

Nr. 150. **23. Juli 1902:**

> *N.* . . B. $13^h 56^{m}35$; Max. $13^h 56^{m}76$, $A_m 1.2 \text{ mm}$;
E. $14^h 9^{m}34$.

V. . . Kaum bemerkbare Anschwellung.

E. . . B. $13^h 54^{m}42$; Max. $13^h 55^{m}53$, $A_m 2.1 \text{ mm}$;
E. $14^h 10^{m}49$.

Nr. 151. **28. Juli 1902:**

> *N.* . . B. $0^h 39^{m}72$; Max. $0^h 41^{m}40$, $A_m 1.6 \text{ mm}$;
E. $0^h 56^{m}71$.

V B. $0^h 40^{m}01$; Max. $0^h 41^{m}40$, $A_m 1.1 \text{ mm}$;
E. $0^h 55^{m}61$.

E. . . B. $0^h 39^{m}61$; Max. $0^h 40^{m}45$, $A_m 3.7 \text{ mm}$;
E. $1^h 0^{m}63$.

Nr. 152. 29. Juli 1902:

- > N... B. $2^h 51^m 13$; Max. $2^h 51^m 81$, $A_m 2 \cdot 0 \text{ mm}$;
 E. $3^h 14^m 53$.
 V... B. $2^h 51^m 69$; Max. $2^h 56^m 45$, $A_m 1 \cdot 4 \text{ mm}$;
 E. $3^h 6^m 65$.
 E... B. $2^h 51^m 15$; Max. $2^h 51^m 97$, $A_m 1 \cdot 7 \text{ mm}$;
 E. $3^h 15^m 64$.

Nr. 153. 29. Juli 1902:

- <> N... B. $18^h 46^m 76$; Max. $18^h 51^m 90$, $A_m 1 \cdot 1 \text{ mm}$;
 E. $19^h 5^m 96$.
 V... B. $18^h 47^m 32$; Max. $18^h 54^m 08$, $A_m 1 \cdot 0 \text{ mm}$;
 E. $18^h 59^m 49$.
 E... Kaum bewegt.

Nr. 154. 2. August 1902:

- > N... B. $7^h 12^m 29$; Max. $7^h 13^m 83$, $A_m 1 \cdot 8 \text{ mm}$; E. $7^h 32^m 06$.
 V... B. $7^h 13^m 42$; Max. $7^h 14^m 26$, $A_m 1 \cdot 5 \text{ mm}$; E. $7^h 32^m 35$.
 E... B. $7^h 12^m 74$; Max. $7^h 13^m 58$, $A_m 2 \cdot 0 \text{ mm}$; E. $7^h 37^m 42$.

Nr. 155. 2. August 1902:

- (> N... B. $15^h 46^m 94$; $M_1 15^h 48^m 20$, $A_1 1 \cdot 5 \text{ mm}$;
 Max. $15^h 57^m 45$, $A_m 4 \cdot 8 \text{ mm}$;
 $M_3 16^h 4^m 32$, $A_3 2 \cdot 5 \text{ mm}$;
 $M_4 16^h 12^m 03$, $A_4 1 \cdot 7 \text{ mm}$;

hierauf eine Reihe schwächerer Stöße mit $A 1 \cdot 0 \text{ mm}$
 bis $16^h 22^m 55$; von $16^h 30^m 95$ bis $16^h 47^m 78$
 eine zweite Anschwellung mit $A_m 1 \cdot 2 \text{ mm}$;
 E. $16^h 49^m 18$.

V... Von $15^h 42^m 18$ bis $16^h 8^m 82$ mehrere Anschwellungen
 mit $A_m 1 \cdot 5 \text{ mm}$; schwache Unruhe dauert jedoch
 fort bis $16^h 48^m 07$.

E... Ruhig.

Nr. 156. 2. und 3. August 1902:

(> N... B. 23^h56^m04; M_1 23^h56^m87, A_1 1·7 mm;
 M_2 0^h 0^m05, A_2 2·2 mm;
 M_3 0^h 15^m48, A_3 2·4 mm;
 Max. 0^h 21^m97, A_m 3·6 mm;

folgen fast ebenso starke Stöße bis 0^h 33^m01;

M_5 0^h 35^m77, A_5 2·4 mm;
 E. 1^h 37^m83.

V... B. 23^h56^m61; M_1 23^h57^m43, A_1 1·7 mm;
 Max. 23^h58^m81, A_m 2·8 mm;
 M_3 0^h 11^m49, A_3 2·3 mm;
 M_4 0^h 22^m67, A_4 2·4 mm;
 M_5 0^h 29^m56, A_5 2·7 mm;
 M_6 0^h 32^m06, A_6 2·3 mm;
 E. 0^h 58^m12.

E... B. 23^h55^m79; Max. 23^h57^m45, A_m 1·8 mm;
 von 0^h 9^m31 bis 0^h 18^m96 A_m 1·7 mm;
 E. 0^h 47^m93.

Nr. 157. 3. August 1902:

<> N... B. 2^h51^m17; M_1 2^h55^m37, A_1 1·1 mm;
 Max. 3^h 7^m14, A_m 3·4 mm;
 M_3 3^h 23^m97, A_3 2·3 mm;
 M_4 3^h 33^m50, A_4 2·6 mm;
 M_5 3^h 39^m67, A_5 2·3 mm; E. 4^h 8^m55.

V. . B. 2^h52^m30; M_1 2^h54^m54, A_1 1·1 mm;
 Max. 3^h 3^m37, A_m 3·0 mm;
 M_3 3^h 9^m96, A_3 2·6 mm;
 M_4 3^h 23^m69, A_4 2·5 mm;
 M_5 3^h 35^m89, A_5 2·7 mm; E. 3^h 47^m81.

E... B. 2^h51^m48; M_1 2^h52^m60, A_1 1·5 mm;
 Max. 3^h 7^m73, A_m 2·1 mm; E. 3^h 27^m64.

Schwache Unruhe dauert fort.

Nr. 158. 3. August 1902:

(> N... B. 17^h 59^m14; M_1 17^h 59^m96, A_1 1·0 mm;
 M_2 18^h 6^m24, A_2 2·2 mm;
 Max. 18^h 10^m20, A_m 11·8 mm;
 M_4 18^h 13^m47, A_4 8·4 mm;
 M_5 18^h 17^m04, A_5 8·6 mm;
 M_6 18^h 26^m87, A_6 8·8 mm;
 M_7 18^h 30^m30, A_7 9·0 mm;
 M_8 18^h 38^m77, A_8 4·5 mm;
 M_9 18^h 50^m93, A_9 4·0 mm;
 E. 19^h 24^m70.

V... B. 17^h 59^m57; M_1 18^h 0^m79, A_1 1·4 mm;
 Max. 18^h 9^m81, A_m 6·0 mm;
 M_3 18^h 19^m24, A_3 3·8 mm;
 M_4 18^h 23^m75, A_4 4·0 mm;
 M_5 18^h 32^m10, A_5 3·0 mm;
 M_6 18^h 44^m52, A_6 2·4 mm;
 E. 19^h 5^m85.

E... B. 17^h 59^m30; M_1 17^h 59^m71, A_1 2·4 mm;
 M_2 18^h 6^m54, A_2 3·5 mm;
 Max. 18^h 9^m81, A_m 7·4 mm;
 M_4 18^h 20^m48, A_4 3·5 mm;
 M_5 18^h 28^m81, A_5 2·0 mm;
 E. 18^h 47^m54.

Unruhe anhaltend.

Nr. 159. 4. August 1902:

<> N... B. 11^h 12^m98; M_1 11^h 14^m78, A_1 1·5 mm;
 M_2 11^h 16^m60, A_2 2·0 mm;
 Max. 11^h 29^m64, A_m 2·3 mm;
 M_4 11^h 54^m10, A_4 1·7 mm;
 E. 12^h 2^m43.

V... B. 11^h 12^m57; eine Reihe schwacher Anschwellungen, A_m 1·3 mm; E. 11^h 59^m95.

E... Von 11^h 13^m56 bis 12^h 0^m80 einige schwache Anschwellungen, A_m 1·4 mm.

Nr. 160. 4. August 1902:

- (> N... B. 23^h 37^m16; Max. 23^h 40^m23, A_m 3·0 mm;
 E. 24^h 9^m39.
 V... B. 23^h 37^m59; Max. 23^h 40^m52, A_m 1·8 mm;
 E. 24^h 2^m74.
 E... B. 23^h 37^m20; Max. 23^h 38^m30, A_m 1·5 mm;
 E. 23^h 46^m93.

Folgt andauernde schwache Unruhe.

Nr. 161. 6. August 1902:

- > N... B. 10^h 58^m21; Max. 10^h 59^m70, A_m 1·8 mm;
 E. 11^h 29^m49.
 V... B. 10^h 59^m31; Max. 10^h 59^m99, A_m 3·2 mm;
 E. 11^h 16^m24.
 E... B. 10^h 58^m09; Max. 10^h 59^m59, A_m 1·2 mm;
 E. 11^h 10^m28.

Nr. 162. 7. August 1902:

- (> N... B. 8^h 56^m98; M_1 8^h 57^m26, A_1 1·4 mm;
 M_2 9^h 3^m16, A_2 2·3 mm;
 Max. 9^h 11^m87, A_m 3·0 mm;
 M_4 9^h 19^m04, A_4 2·0 mm; E. 9^h 42^m22.
 V... B. 8^h 57^m27; M_1 8^h 57^m55, A_1 1·3 mm;
 M_2 9^h 2^m47, A_2 2·5 mm;
 Max. 9^h 7^m39, A_m 3·0 mm; E. 9^h 22^m84.
 E... B. 8^h 57^m29; Max. 9^h 5^m30, A_m 1·3 mm;
 E. 9^h 16^m68.

Nr. 163. 7. August 1902:

- (> N... Zwischen 13^h 12^m51 und 13^h 32^m20 eine Reihe schwacher Stöße mit A_m 1·2 mm.
 V... Zwischen 13^h 12^m95 und 13^h 33^m88 mehrere schwache Stöße;
 Max. 13^h 14^m06, A_m 1·4 mm.

E... Ruhig.

Nr. 164. 7. August 1902:

(> N... B. 18^h 55^m22; Max. 18^h 56^m32 bis 18^h 57^m70,
A_m 0·9 mm; E. 19^h 10^m02.

V... Leichte Anschwellung von 18^h 55^m51 bis 19^h 9^m62.

E... Leichte Anschwellung von 18^h 55^m11 bis 19^h 0^m87.

Nr. 165. 8. August 1902:

N... Von 11^h 11^m33 bis 11^h 28^m34 leichte Anschwellung,
A_m 0·9 mm.

V... Kaum bewegt.

E... Ruhig.

Nr. 166. 8. August 1902:

N... Max. einer schwachen Anschwellung von 22^h 27^m09
 bis 22^h 29^m66, *A_m* 1·0 mm.

V... Schwache Anschwellung von 22^h 27^m80 bis 22^h 32^m77;

Max. 22^h 29^m54, *A_m* 1·4 mm.

E... Ruhig.

Nr. 167. 9. August 1902:

<> N... B. 16^h 2^m70; Max. 16^h 19^m57 bis 16^h 25^m10,
A_m 1·2 mm; E. 16^h 32^m01.

V... Von 16^h 1^m89 bis 16^h 24^m01 leichte Anschwellung,
A_m 1·2 mm.

E... Ruhig.

Nr. 168. 10. August 1902:

N... Von 21^h 44^m10 bis 22^h 5^m67 leichte Anschwellung,
A_m 1·2 mm.

V... Sehr schwache Unruhe.

E... Ruhig.

Nr. 169. 12. August 1902:

<> *N...* B. 18^h 26^m94; M_1 18^h 29^m41, A_1 1·2 *mm*;
 M_2 18^h 31^m20, A_2 2·5 *mm*;
 Max. 18^h 36^m00, A_m 3·2 *mm*;
 M_4 18^h 46^m96, A_4 2·7 *mm*;
 E. 19^h 29^m42.

V... B. 18^h 27^m23; Max. 18^h 34^m92, A_m 3·8 *mm*;

hierauf eine Reihe Stöße mit A_m 1·4 *mm*; E. unbestimmbar.

E... B. 18^h 26^m15; Max. 18^h 33^m28, A_m 2·0 *mm*;
 E. 19^h 1^m78.

Schwache Unruhe anhaltend.

Nr. 170. 13. August 1902:

> *N...* B. 5^h 22^m59; Max. 5^h 23^m69, A_m 3·2 *mm*; E. 6^h 8^m43.
V... B. 5^h 22^m88; Max. 5^h 23^m85, A_m 2·3 *mm*; E. 5^h 31^m22.
E... Ruhig.

Nr. 171. 13. August 1902:

> *N...* B. 13^h 8^m40; Max. 13^h 10^m05, A_m 3·8 *mm*;
 M_2 13^h 16^m93, A_2 2·7 *mm*;
 E. 13^h 51^m33.

V... B. 13^h 9^m23; Max. 13^h 10^m48, A_m 7·2 *mm*;
 E. 14^h 8^m13.

E... B. 13^h 8^m15; Max. 13^h 9^m94, A_m 2·2 *mm*;
 E. 13^h 49^m70.

Nr. 172. 13. August 1902:

> *N...* B. 14^h 26^m11; Max. 14^h 27^m47, A_m 1·2 *mm*;
 E. 14^h 39^m82.

V... B. 14^h 27^m08; Max. 14^h 27^m90, A_m 1·6 *mm*;
 E. 14^h 41^m47.

E... Schwache, kaum A_m 1·0 *mm* erreichende Unruhe.

Nr. 173. 16. August 1902:

- > N... B. 9^h 25^m66; M_1 9^h 27^m31, A_1 8·8 mm;
 Max. 9^h 28^m84, A_m 10·0 mm;
 M_3 9^h 37^m96, A_3 3·8 mm;
 M_4 9^h 47^m22, A_4 3·2 mm;
 M_5 9^h 59^m80, A_5 6·2 mm;
 M_6 10^h 13^m49, A_6 3·4 mm;
 E. 11^h 10^m45.
- V... B. 9^h 25^m95; M_1 9^h 26^m36, A_1 1·5 mm;
 Max. 9^h 28^m56, A_m 2·4 mm;
 M_3 9^h 35^m49, A_3 2·0 mm;
 M_4 9^h 56^m37, A_4 2·0 mm;
 E. 10^h 36^m17.
- E... B. 9^h 25^m13; Max. 9^h 28^m59, A_m 2·5 mm;
 E. 11^h 10^m20.

Nr. 174. 21. August 1902:

- (> N... B. 12^h 38^m78; M_1 12^h 40^m56, A_1 2·9 mm;
 Max. 12^h 54^m15, A_m 3·5 mm;
 M_3 13^h 8^m02, A_3 2·4 mm;
- von 13^h 18^m59 bis 13^h 46^m05 eine Reihe schwächerer
 Stöße mit A_m 1·8 mm; E. 13^h 50^m17.
- V... B. 12^h 38^m25; Max. 12^h 44^m15, A_m 3 0 mm;
 E. unbestimmbar.
- E... Ruhig.

Nr. 175. 22. August 1902:

- (> NB. Eigentlich zwei Störungen enthaltend.
- N... B. 4^h 8^m56; M_1 4^h 9^m81, A_1 9·5 mm;

es treten äußerst heftige Schwingungen auf; bei
 4^h 25^m02 noch ein Maximum von 41·0 mm
 ersichtlich; Lichtpunkt verschwindet aus der
 Papierfläche.

V... B. 4^h 8^m41; M_1 4^h 9^m38, A_1 4·0 *mm*;

Aufzeichnung wird undeutlich; es findet eine Pendelversetzung statt und zwar nach Nordwesten im Betrage von 9·1 *mm*. Bei 5^h 7^m30 Pendelschwingungen bemerkbar mit A 14·0 *mm*; Bewegung nimmt ab, bis bei 5^h 17^m54 nur mehr A von 5·0 *mm* vorkommt. Abermalige Zunahme, bei 5^h 58^m19, A 19·0 *mm*; hierauf rasche Abnahme bis 6^h 4^m50; folgt eine neue Reihe jedoch schwächerer Stöße; E. 6^h 59^m87.

E... B. 4^h 8^m29; M_1 4^h 9^m13, A_1 4 5 *mm*;
 M_2 4^h 14^m15, A_2 11·2 *mm*;

folgt eine Reihe heftiger Stöße mit Amplituden von mehr als 10 *mm* bis 4^h 33^m97; Bewegung wird immer schwächer, bis bei 5^h 14^m48 das Pendel fast zur Ruhe gelangt.

Beginn einer neuen Bewegung bei 5^h 18^m97; Max. derselben 5^h 39^m20, A_m 5·6 *mm*; E. 5^h 59^m35; schwache Unruhe anhaltend.

Nr. 176. 22. August 1902:

<> N... B. 11^h 6^m47; Max. 11^h 10^m65, A_m 2·0 *mm*;
 E. unbestimmbar.

V... B. 11^h 5^m76; Max. 11^h 10^m23, A_m 1·4 *mm*;
 E. unbestimmbar.

E... Leicht bewegt.

Nr. 177. 22. August 1902:

<> NB. Eigentlich zwei Störungen.

N... B. unbestimmbar; M_1 16^h 35^m19, A_1 1·4 *mm*;

Abnahme, hierauf Zunahme;

Max. 17^h 9^m09, A_m 4·3 *mm*; E. 17^h 39^m85.

V... B. unbestimmbar; M_1 16^h 35^m 31, A_1 1·3 mm;

Abnahme, hierauf Zunahme;

Max. 17^h 8^m 80, A_m 1·6 mm; E. 17^h 21^m 56.

E... Fast ruhig.

Nr. 178. 22. August 1902:

<> N... B. 18^h 12^m 34; Max. 18^h 20^m 31, A_m 3·0 mm;
E. 18^h 40^m 90.

Schwache Unruhe folgt.

V... B. 18^h 14^m 25; Max. 18^h 19^m 74, A_m 2·2 mm;
E. 18^h 39^m 24.

E... Sehr schwache Unruhe.

Nr. 179. 23. August 1902:

Schwache Unruhe, besonders

N... Von 4^h 52^m 06 bis 5^h 1^m 92, A_m 1·2 mm.

V... Von 4^h 55^m 60 bis 4^h 59^m 72, A_m 1·0 mm.

Nr. 180. 23. August 1902:

(> N... B. 14^h 15^m 66; M_1 14^h 17^m 43, A_1 1·6 mm;
 M_2 14^h 21^m 36, A_2 1·9 mm;
 M_3 14^h 25^m 30, A_3 3·4 mm;
Max. 14^h 27^m 88, A_m 5·6 mm;
 M_5 14^h 33^m 04, A_5 2·6 mm;
 M_6 14^h 49^m 33, A_6 1·4 mm;
E. 14^h 56^m 12.

Folgt schwache Unruhe.

V... B. 14^h 15^m 64; M_1 14^h 16^m 45, A_1 1·0 mm;
 M_2 14^h 24^m 07, A_2 2·4 mm;
Max. 14^h 30^m 30, A_m 3·0 mm;
 M_4 14^h 36^m 95, A_4 2·6 mm;
 M_5 14^h 43^m 60, A_5 1·4 mm;
E. 14^h 56^m 50.

E... Schwache Unruhe, A_m 1·3 mm.

Nr. 181. 24. August 1902:

<> N... B. 2^h 50^m20; M_1 2^h 55^m87, A_1 1·3 mm;
 M_2 3^h 17^m15, A_2 2·9 mm;
 M_3 3^h 26^m28, A_3 2·5 mm;
 Max. 3^h 29^m74, A_m 4·0 mm;
 M_5 3^h 36^m92, A_5 2·7 mm;

hierauf bis 3^h 55^m72 noch einige mindere Stöße mit
 A_m 1·6 mm; E. 4^h 14^m39.

V... B. 2^h 52^m25; mehrere schwache Stöße mit
 A_m 1·3 mm; E. 4^h 0^m27.

E... Ruhig.

Nr. 182. 24. August 1902:

N... B. 10^h 22^m98; Max. 10^h 27^m34, A_m 1·0 mm;
 E. 10^h 44^m80.

V... Sehr schwache Unruhe.

E... Ruhig.

Nr. 183. 25. August 1902:

N... Von 14^h 3^m95 bis 14^h 51^m04 schwache Anschwellungen;

Max. 14^h 18^m75, A_m 1·5 mm.

V... Von 14^h 1^m77 bis 14^h 44^m02 schwache Anschwellungen;

Max. 14^h 8^m24, A_m 1·3 mm.

E... Ruhig.

Nr. 184. 25. August 1902:

N... Schwache Anschwellung;

Max. 16^h 14^m51 bis 16^h 21^m55; A_m 1·1 mm.

V... Kaum bewegt.

E... Ruhig.

Nr. 185. 28. August 1902:

<> N... B. 7^h 35^m74; Max. 7^h 43^m28, A_m 1·2 mm;
E. 8^h 12^m44.

V... Fast ruhig.

E... » »

Nr. 186. 29. August 1902:

<> N... B. 15^h 56^m12, M_1 16^h 6^m23, A_1 1·5 mm;
 M_2 16^h 24^m65, A_2 2·0 mm;
Max. 16^h 35^m87, A_m 3·8 mm;
 M_4 16^h 41^m56, A_4 3·0 mm;
 M_5 16^h 47^m66, A_5 2·5 mm;
E. 17^h 5^m40.

V... B. 15^h 55^m27, Max. 16^h 35^m73, A_m 3·0 mm.
E. 16^h 59^m29.

E... Ruhig.

Nr. 187. 30. August 1902:

<> N... B. 8^h 44^m87; M_1 8^h 49^m01, A_1 1·4 mm;
Max. 9^h 15^m08, A_m 2·5 mm;
E. 9^h 37^m97.

V... B. 8^h 44^m99; Max. 9^h 9^m40, A_m 1·1 mm;
E. 9^h 21^m13.

E... Ruhig.

Nr. 188. 30. August 1902:

(> N... B. 21^h 47^m06; Max. 21^h 49^m72, A_m 1·9 mm;
E. 22^h 15^m19.

V... Ruhig.

E... B. 21^h 45^m83; Max. 21^h 46^m52 bis 21^h 53^m76,
 A_m 1·1 mm; E. 22^h 0^m72.

Nr. 189. 30. August 1902:

(> N... B. 22^h 57^m22; M_1 22^h 59^m00, A_1 10·4 mm;
 M_2 23^h 4^m19, A_2 11·0 mm;
 M_3 23^h 8^m39, A_3 14·0 mm;

Aufzeichnung wird undeutlich, daher Maximum nicht bestimmbar; wieder entnehmbar wird Aufzeichnung bei $23^{\text{h}} 36^{\text{m}} 43$ mit A $6 \cdot 0$ *mm*.
Bewegung nimmt ab bis $23^{\text{h}} 41^{\text{m}} 34$, hierauf neuerliche Zunahme,

$$M_4 \ 23^{\text{h}} 52^{\text{m}} 42, \ A_4 \ 9 \cdot 0 \ \textit{mm};$$

$$M_5 \ 24^{\text{h}} \ 6^{\text{m}} 16, \ A_5 \ 3 \cdot 5 \ \textit{mm};$$

es folgen noch einige schwächere Stöße mit
 A_m $2 \cdot 5$ *mm*; E. $24^{\text{h}} 46^{\text{m}} 52$.

$$V \dots B. \ 22^{\text{h}} 56^{\text{m}} 93; \ M_1 \ 22^{\text{h}} 58^{\text{m}} 17, \ A_1 \ 4 \cdot 5 \ \textit{mm};$$

$$M_2 \ 23^{\text{h}} \ 0^{\text{m}} 21, \ A_2 \ 14 \cdot 0 \ \textit{mm};$$

Zeichnung auch hier undeutlich; bei $23^{\text{h}} 36^{\text{m}} 14$
 A_m $10 \cdot 0$ *mm*;

$$M_3 \ 23^{\text{h}} 47^{\text{m}} 50, \ A_3 \ 4 \cdot 5 \ \textit{mm};$$

$$M_4 \ 23^{\text{h}} 48^{\text{m}} 90, \ A_4 \ 5 \cdot 0 \ \textit{mm};$$

$$M_5 \ 23^{\text{h}} 55^{\text{m}} 63, \ A_5 \ 2 \cdot 4 \ \textit{mm};$$

$$E. \ 24^{\text{h}} 21^{\text{m}} 01.$$

$$E \dots B. \ 22^{\text{h}} 56^{\text{m}} 68; \ M_1 \ 22^{\text{h}} 58^{\text{m}} 05, \ A_1 \ 3 \ 4 \ \textit{mm};$$

$$M_2 \ 22^{\text{h}} 59^{\text{m}} 96, \ A_2 \ 4 \cdot 6 \ \textit{mm};$$

$$M_3 \ 23^{\text{h}} \ 5^{\text{m}} 05, \ A_3 \ 4 \cdot 8 \ \textit{mm};$$

$$\text{Max.} \ 23^{\text{h}} \ 8^{\text{m}} 69, \ A_m \ 5 \cdot 0 \ \textit{mm};$$

$$M_5 \ 23^{\text{h}} 15^{\text{m}} 84, \ A_5 \ 3 \cdot 6 \ \textit{mm};$$

$$M_6 \ 23^{\text{h}} 24^{\text{m}} 53, \ A_6 \ 2 \cdot 8 \ \textit{mm};$$

$$E. \ 23^{\text{h}} 38^{\text{m}} 70.$$

Nr. 190. 31. August 1902:

$$<> \ N \dots B. \ 13^{\text{h}} 46^{\text{m}} 96; \ M_1 \ 13^{\text{h}} 53^{\text{m}} 49, \ A_1 \ 1 \cdot 2 \ \textit{mm};$$

$$\text{Max.} \ 13^{\text{h}} 56^{\text{m}} 58, \ A_m \ 2 \cdot 3 \ \textit{mm};$$

$$M_3 \ 14^{\text{h}} \ 0^{\text{m}} 07, \ A_3 \ 2 \cdot 0 \ \textit{mm};$$

$$E. \ 14^{\text{h}} 31^{\text{m}} 68.$$

V... B. $13^{\text{h}} 53^{\text{m}} 93$; schwache Unruhe jedoch schon früher bemerkbar;

$$\text{Max.} \ 13^{\text{h}} 56^{\text{m}} 01, \ A_m \ 1 \cdot 1 \ \textit{mm}; \ E. \ 14^{\text{h}} 18^{\text{m}} 26.$$

E... Ruhig.

Nr. 191. 31. August 1902:

<> N... B. 18^h 58^m56; M_1 19^h 1^m47, A_1 1·1 mm;
 Max. 19^h 13^m65, A_m 4·4 mm;
 E. 19^h 30^m57.

V... Schwache Unruhe.

E... Ruhig.

Nr. 192. 3. September 1902:

> N... B. 21^h 18^m18; Max. 21^h 19^m59, A_m 7·2 mm;
 M_2 21^h 23^m78, A_2 3·4 mm;
 M_3 21^h 28^m55, A_3 3·0 mm;
 E. 21^h 53^m44.

V... B. 21^h 18^m33; M_1 21^h 19^m59, A_1 4·0 mm;
 Max. 21^h 22^m38, A_m 5·0 mm;
 M_3 21^h 27^m69, A_3 3·7 mm;
 E. 21^h 43^m35.

E... B. 21^h 17^m94; Max. 21^h 19^m48, A_m 5·0 mm;
 M_2 21^h 22^m13, A_2 4·0 mm;
 E. 21^h 47^m31.

Nr. 193. 4. September 1902:

N... Leichte Anschwellung von 1^h 57^m77 bis 2^h 21^m61,
 A_m 1·0 mm.

V... Ruhig.

E... Kaum bewegt.

Nr. 194. 4. September 1902:

N... Von 9^h 49^m25 bis 10^h 11^m18 schwache Anschwellung,
 A_m 0·9 mm.

V... Von 9^h 50^m34 bis 9^h 59^m79 schwache Anschwellung,
 A_m 0·9 mm.

E... Ruhig.

Nr. 195. 6. September 1902:

- > N... B. 0^h 7^m 83; M_1 0^h 8^m 95, A_1 4·5 mm;
 Max. 0^h 11^m 73, A_m 8·4 mm;
 M_3 0^h 15^m 48, A_3 3·0 mm;
 M_4 0^h 19^m 66, A_4 3·4 mm;
 M_5 0^h 26^m 90, A_5 2·0 mm; E. 0^h 51^m 96.
 V... B. 0^h 7^m 82; Max. 0^h 12^m 55, A_m 11·8 mm;
 M_2 0^h 16^m 87, A_2 4·5 mm; E. 0^h 39^m 14.
 E... B. 0^h 7^m 57; Max. 0^h 11^m 05, A_m 8·0 mm;
 M_2 0^h 14^m 39, A_2 6·0 mm; E. 0^h 41^m 67.

Nr. 196. 6. September 1902:

- N... Von 19^h 14^m 39 bis 19^h 42^m 10 schwache Anschwellung, A_m 1·0 mm.
 V... Kaum bemerkbare Unruhe.
 E... » » »

Nr. 197. 7. September 1902:

- > N... B. 2^h 36^m 21; Max. 2^h 38^m 11, A_m 1·8 mm;
 E. 2^h 56^m 52.
 V... Sehr schwache Unruhe.
 E... Ruhig.

Nr. 198. 10. September 1902:

- > N... B. 10^h 8^m 03; Max. 10^h 11^m 55, A_m 16·5 mm;
 M_2 10^h 13^m 17, A_2 12·5 mm;
 E. 10^h 41^m 48.
 V... B. 10^h 8^m 28; M_1 10^h 11^m 39, A_1 5·0 mm;
 Max. 10^h 13^m 82, A_m 8·0 mm;
 E. 10^h 37^m 13.
 E... B. 10^h 7^m 62; M_1 10^h 11^m 01, A_1 7·5 mm;
 Max. 10^h 12^m 22, A_m 8·0 mm;
 E. 10^h 40^m 94.

Unruhe anhaltend.

Nr. 199. 11. September 1902:

N... Von 4^h 17^m69 bis 4^h 54^m92 leichte Anschwellung;

Max. 4^h 31^m30, A_m 1·6 mm

V... Schwache Anschwellung;

Max. 4^h 20^m19 bis 4^h 22^m40, A_m 1·0 mm.

E... Fast ruhig.

Nr. 200. 15. September 1902:

<> N... B. 7^h 42^m56; Max. 7^h 54^m71, A_m 2·2 mm; E. 8^h 34^m47.

V... Schwache Unruhe.

E... Fast ruhig.

Nr. 201. 16. September 1902:

Wegen Streifenabnahme ist der Beginn dieser Störung nicht bestimmbar. Bei der Abnahme des alten Streifens, 12^h 4^m, keine Bewegung bemerkbar, am neuen Streifen um 12^h 16^m Pendel bereits in Bewegung.

N... M_1 12^h 28^m50, A_1 3·4 mm;

M_2 12^h 36^m35, A_2 3·3 mm;

Max. 12^h 40^m28 und 12^h 42^m24, A_m 6·2 mm;

M_4 12^h 48^m13, A_4 3·3 mm;

M_5 12^h 54^m16, A_5 3·0 mm;

M_6 12^h 58^m22, A_6 2·8 mm;

M_7 13^h 6^m91, A_7 1·2 mm; E. 13^h 37^m47.

V... M_1 12^h 28^m49, A_1 2·8 mm;

M_2 12^h 30^m32, A_2 3·2 mm;

Max. 12^h 36^m62, A_m 5·1 mm;

M_4 12^h 41^m67, A_4 2·5 mm;

M_5 12^h 44^m48, A_5 2·4 mm;

zwischen 12^h 56^m53 und 13^h 13^m35 eine neue Anschwellung mit A_m 1·0 mm; E. 13^h 16^m15.

Schwache Unruhe noch anhaltend.

E... Schwache Unruhe, A_m 1·2 mm.

Nr. 202. 18. September 1902:

<> N... B. 20^h 6^m43; M_1 20^h 17^m61, A_1 1·2 mm;
 Max. 20^h 27^m57, A_m 2·4 mm;
 M_3 20^h 31^m65, A_3 2 3 mm;
 E. 21^h 3^m97.

V B. unbestimmbar; Max. 20^h 23^m60; A_m 1·5 mm;
 E. 21^h 3^m68.

E. . Sehr schwache Unruhe.

Nr. 203. 19. September 1902:

> N... B. 0^h 53^m68; Max. 0^h 54^m51, A_m 2·0 mm; E. 1^h 9^m88.
 V... Ruhig.
 E. Sehr schwache Unruhe.

Nr. 204. 20. September 1902:

(> N... B. 7^h 38^m06; M_1 7^h 38^m75, A_1 1·2 mm;
 M_2 7^h 44^m33, A_2 4·0 mm;
 M_3 7^h 49^m91, A_3 5·8 mm;
 M_4 7^h 53^m12, A_4 6·8 mm;
 M_5 7^h 59^m67, A_5 9·5 mm;
 Max. 8^h 3^m03, A_m 10·5 mm;
 M_7 8^h 7^m76, A_7 4·0 mm; E. 9^h 6^m79.
 V B. 7^h 37^m77; M_1 7^h 38^m60, A_1 1·1 mm;
 M_2 7^h 41^m39, A_2 3·5 mm;

Aufzeichnung wird undeutlich, bei 8^h 3^m15 sichtbar
 A 3·7 mm; folgt eine Reihe schwächer werden-
 der Stöße; E. 8^h 56^m73.

E. B. 7^h 41^m14; M_1 7^h 42^m54, A_1 2·5 mm;
 M_2 7^h 49^m23, A_2 4·4 mm;
 Max. 7^h 52^m44, A_m 5·6 mm;
 M_4 8^h 2^m49, A_4 2·1 mm;

E. infolge fortwährender Unruhe nicht bestimmbar.

Nr. 205. 22. September 1902:

> N... B. 3^h 2^m 94; M_1 3^h 4^m 20, A_1 1·9 mm;
 M_2 3^h 7^m 13, A_2 8·6 mm;

Aufzeichnung wird undeutlich, ersichtlich eine große Reihe Maxima mit Amplituden von mehr als 18 mm. Aufzeichnungen werden wieder sichtbarer bei 4^h 8^m 17 mit A 9·0 mm;

M_3 4^h 13^m 61, A_3 7·0 mm;

M_4 4^h 17^m 69, A_4 5·0 mm;

M_5 4^h 26^m 13, A_5 5·4 mm;

folgt eine Reihe an Stärke abnehmender Stöße, bis bei 5^h 1^m 23 noch A 2·5 mm bemerkbar ist. Bewegung wird immer schwächer; E. 5^h 51^m 57.

V... B. 3^h 2^m 22; M_1 3^h 2^m 93, A_1 1·1 mm;
 M_2 3^h 6^m 27, A_2 3·3 mm;
 M_3 3^h 8^m 93, A_3 6·2 mm;

Aufzeichnungen werden undeutlich, Amplituden mit mehr als 6 mm ersichtlich. Aufzeichnung wird wieder sichtbar bei 4^h 7^m 74 mit A 3·0 mm. Eine schwache Zunahme der Bewegung ersichtlich von 4^h 17^m 94 bis 4^h 30^m 33 mit A_m 2·0 mm bei 4^h 25^m 30 und 4^h 26^m 52. Bewegung nimmt kontinuierlich ab; E. unbestimmbar.

E... B. 3^h 3^m 80; Max. 3^h 8^m 82, A_m 8·0 mm;

auch hier werden Aufzeichnungen undeutlich, ersichtlich Amplituden mit mehr als 7 mm; Aufzeichnungen entnehmbarer bei 3^h 26^m 17 mit 3·5 mm;

M_2 3^h 33^m 16, A_2 3·0 mm;

M_3 3^h 44^m 48, A_3 2·3 mm;

M_4 3^h 46^m 87, A_4 1·8 mm;

M_5 3^h 50^m 92, A_5 2·2 mm;

E. unbestimmbar.

Nr. 206. 23. September 1902:

> *N*... B. 21^h 32^m10; M_1 21^h 32^m93, A_1 8·6 *mm*;
 M_2 21^h 36^m43, A_2 9·6 *mm*;
 M_3 21^h 44^m94, A_3 14·7 *mm*;
 Max. 21^h 52^m89, A_m 28·0 *mm*;
 M_5 22^h 0^m57, A_5 15·8 *mm*;
 M_6 22^h 14^m86, A_6 16·0 *mm*;
 M_7 22^h 22^m91, A_7 9·0 *mm*;
 M_8 22^h 47^m30, A_8 6·5 *mm*;
 M_9 22^h 55^m05, A_9 4·0 *mm*;

Stöße werden immer schwächer; E. 24^h 33^m72.

V... B. 21^h 31^m95; M_1 21^h 32^m78, A_1 11·4 *mm*;
 M_2 21^h 35^m86, A_2 9·0 *mm*;
 M_3 21^h 39^m90, A_3 14·0 *mm*;
 M_4 21^h 50^m23, A_4 10·0 *mm*;
 M_5 21^h 56^m79, A_5 8·0 *mm*;
 Max. 22^h 7^m93, A_m 15·0 *mm*;
 M_7 22^h 17^m34, A_7 12·0 *mm*;

Bewegung läßt an Intensität nach, bei 22^h 46^m73
 nur mehr A 2·0 *mm*; E. 24^h 33^m43.

Sehr schwache Unruhe anhaltend.

E... B. 21^h 31^m70; M_1 21^h 32^m82, A_1 6·0 *mm*;
 M_2 21^h 35^m75, A_2 4·2 *mm*;
 M_3 21^h 40^m36, A_3 4·5 *mm*;
 Max. 21^h 45^m40, A_m 9·5 *mm*;
 M_5 21^h 52^m21, A_5 5·0 *mm*;
 M_6 21^h 55^m56, A_6 4·0 *mm*;
 M_7 22^h 6^m30, A_7 3·0 *mm*;
 M_8 22^h 11^m55, A_8 3·3 *mm*;
 M_9 22^h 15^m16, A_9 2·8 *mm*;

E. wegen fortdauernder Unruhe nicht bestimmbar.

Nr. 207. 24. September 1902:

- > N... B. 6^h 6^m 69; Max. 6^h 7^m 80, A_m 2·1 mm; E. 6^h 24^m 81.
 V... B. 6^h 6^m 40; Max. 6^h 7^m 51, A_m 1·7 mm; E. 6^h 28^m 25.
 E... Kaum bewegt.

Nr. 208. 24. September 1902:

- > N... B. 8^h 59^m 44; Max. 8^h 59^m 71, A_m 2·4 mm;
 E. 9^h 36^m 22.
 V... B. 8^h 59^m 29; Max. 9^h 0^m 00, A_m 1·7 mm;
 E. 9^h 35^m 93.
 E... B. 8^h 59^m 61; Max. 9^h 1^m 83, A_m 1·3 mm;
 E. unbestimmbar.

Nr. 209. 24. September 1902:

- (> N... B. 11^h 20^m 51; Max. 11^h 21^m 30, A_m 1·0 mm;
 E. 11^h 47^m 31.
 V... B. 11^h 20^m 08; Max. 11^h 20^m 51 bis 11^h 22^m 46,
 A_m 0·9 mm; E. 11^h 38^m 65.
 E... Fast ruhig.

Nr. 210. 26. September 1902:

- <> N... B. 13^h 22^m 27; Max. 13^h 24^m 48 bis 13^h 30^m 27 und
 von 13^h 37^m 59 bis 13^h 48^m 21,
 A_m 1·0 mm; E. 14^h 4^m 76.
 V... Schwache Unruhe.
 E... » »

Nr. 211. 30. September 1902:

- N... Zwischen 7^h 54^m 24 und 8^h 33^m 78 eine schwache
 Anschwellung mit A_m 1·4 mm von 7^h 54^m 96 bis
 7^h 58^m 74.
 V... Ruhig.
 E... Tagsüber unruhig.

Nr. 212. 2. Oktober 1902:

<> N... B. unbestimmbar; M_1 19^h 10^m47, A_1 0·9 mm;
 Max. 19^h 18^m14, A_m 1·7 mm;

von 19^h 20^m93 bis 20^h 4^m88 eine Reihe schwacher
 Stöße mit A_m 1·4 mm; E. 20^h 36^m28.

V... B. 19^h 0^m92; M_1 19^h 4^m19, A_1 1·2 mm;
 Max. 19^h 11^m98, A_m 2·5 mm;
 M_3 19^h 17^m85, A_3 1·8 mm;
 E. 20^h 35^m99.

E... B. 19^h 0^m94; M_1 19^h 3^m81, A_1 2·2 mm;
 M_2 19^h 5^m74, A_2 2·2 mm;
 M_3 19^h 10^m34, A_3 2·2 mm;
 E. unbestimmbar.

Nr. 213. 4. Oktober 1902:

<> N... B. 7^h 56^m93; M_1 7^h 58^m86, A_1 1·6 mm;
 M_2 8^h 6^m91, A_2 1·8 mm;
 Max. 8^h 16^m75, A_m 2·4 mm; E. 9^h 3^m45.

V... Schwache Unruhe.

E... » »

Nr. 214. 6. Oktober 1902:

(>) Starke seismische Störung ersichtlich. B. zirka 10^h 23^m.
 Wegen Versagens des photographischen Papiers
 und des Blendenfalles genaue Ausmessung unmög-
 lich.

Nr. 215. 8. Oktober 1902:

N... Bei 3^h eine Anschwellung mit A_m 1·4 mm. Wegen
 Versagens der Markierung des Stundenbeginnes
 genaue Zeitangabe nicht möglich.

V... Schwache Unruhe.

E... » »

Nr. 216. 12. Oktober 1902:

Wegen unregelmäßigen Fallens der Stundenblende genaue Ausmessung der Störung unmöglich.

- > *N...* B. bei 9^h; A_m 2·2 *mm*.
V... Tagsüber mikroseismische Unruhe.
E... » » »

Nr. 217. 13. Oktober 1902:

Bemerkung wie bei Nr. 216.

- (> B. bei 13^h.
N... A_m 1·8 *mm*.
V... A_m 1·4 *mm*.
E... A_m 2·1 *mm*.

Nr. 218. 14. Oktober 1902:

Bemerkung wie bei Nr. 216.

- > B. zirka 14^h.
N... A_m 1·6 *mm*.
V... A_m 0·8 *mm*.
E... Andauernde mikroseismische Unruhe.

Nr. 219. 15. Oktober 1902:

Bemerkung wie bei Nr. 216.

- (> *N...* B. bei 9^h 30^m; A_m 2·3 *mm*.
V... Tagsüber mikroseismische Unruhe.
E... » » »

Nr. 220. 17. Oktober 1902:

- <> *N...* B. 8^h 31^m 83; Max. 8^h 40^m 76, A_m 1·0 *mm*; E. 8^h 46^m 66.
V... Schwache Anschwellung von 8^h 31^m 27 bis 8^h 38^m 13,
 A_m 0·9 *mm*.
E... Fast ruhig.

Nr. 221. 18. Oktober 1902:

- > N... B. 21^h 29^m32; M_1 21^h 30^m84, A_1 1.7 mm;
 Max. 21^h 32^m22, A_m 4.0 mm;
 M_3 21^h 33^m33, A_3 3.9 mm;
 M_4 21^h 35^m39, A_4 2.1 mm;

es folgen fast gleich starke Stöße bis 21^h 51^m11;
 E. wegen der folgenden Störung unbestimmbar.

- V... B. 21^h 29^m72; M_1 21^h 30^m41, A_1 1.3 mm;
 M_2 21^h 33^m17, A_2 5.0 mm;
 Max. 21^h 35^m65, A_m 5.1 mm;
 E. 21^h 49^m44.

E... Tagsüber mikroseismische Unruhe.

Nr. 222. 18. Oktober 1902:

N... Von 22^h 8^m49 bis 22^h 23^m16 eine Verdickung der
 Kurve; Max. bei 22^h 9^m85, A_m 1.4 mm.

V... Von 22^h 9^m97 bis 22^h 17^m44 schwache Bewegung,
 A_m 1.0 mm.

E... Tagsüber mikroseismische Unruhe.

Nr. 223. 19. Oktober 1902:

- > N... B. 4^h 31^m11; Max. 4^h 34^m67, A_m 5.8 mm;
 M_2 4^h 36^m99, A_2 3.8 mm;
 M_3 4^h 41^m09, A_3 2.5 mm;
 M_4 4^h 47^m64, A_4 2.0 mm;
 E. 5^h 7^m05.

V... B. 4^h 31^m38; M_1 4^h 32^m33, A_1 1.2 mm;
 M_2 4^h 33^m57, A_2 1.7 mm;
 Max. 4^h 34^m65, A_m 3.4 mm;
 E. 5^h 1^m30.

E... B. 4^h 31^m26; M_1 4^h 33^m99, A_1 1.8 mm;
 M_2 4^h 37^m82, A_2 1.8 mm;

E. unbestimmbar.

Nr. 224. 19. Oktober 1902:

<> N... B. 15^h 29^m 29; Max. 15^h 38^m 46, A_m 1·5 mm;
E. 15^h 59^m 02.

V Von 15^h 32^m 70 bis 15^h 45^m 03 schwache Anschwellung, A_m 0·9 mm.

E... Von 15^h 30^m 80 bis 15^h 44^m 09 schwache Anschwellung, A_m 0·9 mm.

Nr. 225. 21. Oktober 1902:

(> N... B. 7^h 49^m 12; Max. 7^h 53^m 59, A_m 2·0 mm;
E. 8^h 17^m 09.

V... B. schwache Anschwellungen bei 7^h 48^m 97,
 A_m 1·2 mm; E. 8^h 4^m 21.

E. Ruhig.

Nr. 226. 23. Oktober 1902:

(> N... B. 9^h 52^m 69; M_1 9^h 53^m 67, A_1 1·7 mm;
Max. 9^h 55^m 08 bis 9^h 56^m 48, A_m 2·3 mm;
E. 10^h 37^m 24.

Schwache Unruhe weiter anhaltend.

V B. 9^h 52^m 40; M_1 9^h 53^m 24, A_1 1·0 mm;
Max. 9^h 55^m 49, A_m 2·8 mm;
E. 10^h 15^m 17.

Schwache Unruhe folgt.

E... B. 9^h 52^m 15; M_1 9^h 53^m 13, A_1 1·0 mm;
Max. 9^h 55^m 24, A_m 2·5 mm;
E. 10^h 14^m 22.

Schwache Unruhe folgt.

Nr. 227. 25. Oktober 1902:

> N... B. 22^h 46^m33; M_1 22^h 47^m02, A_1 4·0 mm;
 Max. 22^h 49^m20, A_m 6·0 mm;
 M_3 22^h 50^m56, A_3 5·4 mm;
 M_4 22^h 55^m24, A_4 3·9 mm;
 E. 23^h 19^m75.

V B. 22^h 45^m49; M_1 22^h 46^m73, A_1 1·2 mm;
 Max. 22^h 48^m23, A_m 4·4 mm;
 M_3 22^h 53^m57, A_3 2·0 mm;
 E. 23^h 19^m46.

Schwache Unruhe dauert noch lange fort.

E. Tagsüber mikroseismische Unruhe.

Nr. 228. 31. Oktober 1902:

<> N... B. 14^h 49^m00; eine Reihe schwacher Stöße mit
 A 1·0 mm;

Max. von 15^h 2^m19 bis 15^h 11^m72, A_m 1·3 mm;

E. 15^h 27^m36.

V... Anhaltende leichte Unruhe.

E...

Nr. 229. 2. November 1902:

(> N... B. 20^h 42^m09; Max. 20^h 46^m59, A_m 1·4 mm;
 E. 21^h 15^m23.

Schwache Unruhe fortdauernd.

V... B. 20^h 41^m80; Max. 20^h 45^m48, A_m 1·1 mm;
 E. unbestimmbar.

E... B. 20^h 41^m14; M_1 20^h 42^m78, A_1 2·7 mm;
 Max. 20^h 44^m69, A_m 2·8 mm;
 E. 21^h 9^m23.

Schwache Unruhe folgt.

Nr. 230. 4. November 1902:

Beginn wegen Streifenwechsels unbestimmbar; nach Aufspannen des neuen Blattes:

N... M_1 13^h 11^m22, A_1 3·2 *mm*;
 Max. 13^h 16^m80 und 13^h 18^m56, A_m 5·2 *mm*;
 M_3 13^h 22^m11, A_3 3·9 *mm*;
 M_4 13^h 31^m22, A_4 4·8 *mm*;
 M_5 13^h 36^m66, A_5 3·0 *mm*; E. 14^h 0^m20.

Schwache Unruhe anhaltend.

V... M_1 13^h 11^m65, A_1 2·7 *mm*;
 Max. 13^h 16^m14, A_m 4·0 *mm*;
 M_3 13^h 22^m54, A_3 2·5 *mm*;

folgen mehrere kleine Stöße mit A_m 1·3 *mm*;
 E. 13^h 59^m91.

E. Tagsüber mikroseismische Unruhe, zur Zeit der Störung Verdickung der Kurve bis zu 1·5 *mm*.

Nr. 231. 4. November 1902:

<> *N..* Zwischen 23^h 44^m38 und 24^h 15^m22 einige fast gleichmäßig starke Anschwellungen mit A_m 1·2 *mm*.

V (Zwischen 23^h 27^m85 und 23^h 39^m50 schwache Stöße mit A_m 1·0 *mm*.)

B. 23^h 43^m96; M_1 23^h 51^m03, A_1 1·2 *mm*;
 Max. 23^h 53^m67, A_m 1·7 *mm*;
 E. 24^h 13^m54.

Schwache Unruhe anhaltend.

E. Tagsüber mikroseismische Unruhe.

Nr. 232. 6. November 1902:

(> *N...* *B.* 1^h 33^m04; Max. 1^h 37^m92, A_m 2·8 *mm*;
 E. 2^h 15^m59.

V... B. und E. infolge mikroseismischer Bewegung unbestimmbar;

Max. $1^{\text{h}}37^{\text{m}}91$, A_m $4\cdot0$ mm.

E... Fortwährende mikroseismische Unruhe.

Nr. 233. 6. November 1902:

<> N... B. $5^{\text{h}}48^{\text{m}}10$; Max. $5^{\text{h}}50^{\text{m}}47$, A_m $0\cdot9$ mm;
E. $5^{\text{h}}54^{\text{m}}66$.

V... B. und E. unbestimmbar;

Max. $5^{\text{h}}55^{\text{m}}48$, A_m $0\cdot9$ mm.

E... Kontinuierliche Unruhe.

Nr. 234. 6. November 1902:

<> N... B. $7^{\text{h}}26^{\text{m}}75$; Max. $7^{\text{h}}33^{\text{m}}73$, A_m $1\cdot4$ mm;
E. $7^{\text{h}}43^{\text{m}}21$.

V... Ruhig.

E... B. $7^{\text{h}}26^{\text{m}}21$; Max. $7^{\text{h}}33^{\text{m}}19$, A_m $1\cdot4$ mm;
E. $7^{\text{h}}41^{\text{m}}56$.

Nr. 235. 6. November 1902:

<> N... B. $8^{\text{h}}53^{\text{m}}55$; Max. $8^{\text{h}}56^{\text{m}}75$, A_m $2\cdot2$ mm;
E. $9^{\text{h}}13^{\text{m}}50$.

folgt neue Anschwellung;

Max. $9^{\text{h}}19^{\text{m}}77$ und $9^{\text{h}}32^{\text{m}}34$, A_m $1\cdot7$ mm;
E. $10^{\text{h}}4^{\text{m}}42$.

V... Von $8^{\text{h}}45^{\text{m}}30$ bis $9^{\text{h}}18^{\text{m}}79$ mehrere Anschwellungen,
 A_m $1\cdot2$ mm.

E... Anhaltende Unruhe.

Nr. 236. 7. November 1902:

<<> N... B. $19^{\text{h}}57^{\text{m}}73$; Max. $20^{\text{h}}13^{\text{m}}12$, A_m $1\cdot6$ mm;
E. $20^{\text{h}}47^{\text{m}}62$.

V... Schwache Anschwellungen, A_m $1\cdot0$ mm.

E... Anhaltend unruhig.

Nr. 237. 8. November 1902:

N... Von $4^h 43^m 67$ bis $4^h 52^m 96$ schwache Anschwellung,
 $A_m 1 \cdot 0 \text{ mm}$.

V... Fast ruhig.

E... » »

Nr. 238. 9. November 1902:

(> *N...* B. $7^h 39^m 91$; $M_1 7^h 41^m 03$, $A_1 1 \cdot 1 \text{ mm}$;
 Max. $7^h 48^m 04$, $A_m 2 \cdot 0 \text{ mm}$;
 E. $8^h 21^m 69$.

V... B. $7^h 39^m 06$; Max. $7^h 47^m 75$, $A_m 1 \cdot 8 \text{ mm}$;
 E. $8^h 11^m 59$.

E... B. $7^h 39^m 09$; Max. $7^h 47^m 50$, $A_m 1 \cdot 2 \text{ mm}$;
 E. $8^h 15^m 54$.

Nr. 239. 11. November 1902:

(<> *N...* B. $13^h 46^m 48$; Max. $13^h 52^m 20$ bis $13^h 58^m 75$,
 $A_m 1 \cdot 5 \text{ mm}$; E. $14^h 14^m 39$.

V... Kontinuierliche Unruhe.

E... » »

Nr. 240. 15. November 1902:

(> *N...* B. $10^h 43^m 79$, $M_1 10^h 46^m 38$, $A_1 2 \cdot 2 \text{ mm}$;
 $M_2 10^h 48^m 30$, $A_2 3 \cdot 0 \text{ mm}$;
 $M_3 10^h 54^m 15$, $A_3 2 \cdot 7 \text{ mm}$;
 Max. $11^h 6^m 82$, $A_m 3 \cdot 2 \text{ mm}$;

hierauf eine Reihe schwächerer Stöße mit $A 1 \cdot 2 \text{ mm}$;
 E. $11^h 37^m 24$.

V... Tagsüber mikroseismische Unruhe.

E... » » »

Nr. 241. 17. November 1902:

(> N... B. 2^h0^m44, mikroseismische Unruhe jedoch vorangehend;

$$M_1 \text{ 2}^h \text{ 3}^m \text{ 88, } A_1 \text{ 4} \cdot \text{5 } mm;$$

$$\text{Max. 2}^h \text{ 5}^m \text{ 82, } A_m \text{ 4} \cdot \text{8 } mm;$$

E. unbestimmbar infolge anhaltender mikroseismischer Bewegung.

V... B. 2^h0^m97; mikroseismische Unruhe vorangehend;

$$\text{Max. 2}^h \text{ 3}^m \text{ 87, } A_m \text{ 2} \cdot \text{0 } mm; \text{ E. wie oben.}$$

E... Kontinuierliche mikroseismische Unruhe.

Nr. 242. 18. November 1902:

Mikroseismische Unruhe tagsüber an allen drei Pendeln bemerkbar.

(> N... B. 3^h5^m70; Max. 3^h9^m32, A_m 4·2 mm;
 M_2 3^h17^m97, A_2 2·7 mm;

folgen mehrere fast gleich starke Maxima bis
 3^h28^m03; E. 3^h44^m77.

V... Von 3^h5^m27 bis 3^h29^m14 mehrere schwächere Stöße;
 Aufzeichnung jedoch undeutlich, A_m zirka 2 mm.

E... Kontinuierliche mikroseismische Unruhe.

Nr. 243. 21. November 1902:

Infolge Versagens der Gasflamme ist nur das Ende einer Störung zu bemerken, welche bei Pendel

N... um 9^h23^m95 eine A von 5·0 mm

zeigt; weitere Maxima bei

$$9^h \text{ 25}^m \text{ 73, } A \text{ 6} \cdot \text{0 } mm; \quad 9^h \text{ 30}^m \text{ 91, } A \text{ 5} \cdot \text{0 } mm;$$

$$9^h \text{ 39}^m \text{ 36, } A \text{ 3} \cdot \text{0 } mm; \quad 9^h \text{ 55}^m \text{ 85, } A \text{ 2} \cdot \text{8 } mm.$$

Bei 10^h 17^m54 ist das Pendel fast zur Ruhe gelangt, es beginnt jedoch eine neue schwache Bewegung mit A_m 1·8 mm; E. unbestimmbar infolge anhaltender mikroseismischer Unruhe.

Nr. 244. 23. November 1902:

> N... B. 21^h 31^m33; M_1 21^h 32^m83, A_1 4·0 mm;
 Max. 21^h 37^m06, A_m 9·2 mm;
 M_3 21^h 39^m94, A_3 9·0 mm;
 E. 22^h 11^m38.

V... B. 21^h 31^m18; M_1 21^h 32^m13, A_1 1·2 mm;
 M_2 21^h 34^m33, A_2 2·9 mm;
 Max. 21^h 35^m55, A_m 4·2 mm;
 M_4 21^h 39^m08, A_4 3·7 mm;
 E. 21^h 57^m42.

E... B. 21^h 30^m79; Max. 21^h 33^m25, A_m 4·8 mm;
 E. 21^h 56^m48.

Nr. 245. 28. November 1902:

(> N... B. 5^h 59^m49; M_1 6^h 4^m72, A_1 3·3 mm;
 Max. 6^h 8^m44, A_m 6·0 mm;
 M_3 6^h 16^m14, A_3 3·0 mm;
 E. 6^h 49^m58.

V... B. und E. wegen andauernder mikroseismischer Unruhe nicht bestimmbar;

Max. 6^h 6^m64, A_m 2·5 mm.

E... Fortwährende mikroseismische Unruhe.

Nr. 246. 1. Dezember 1902:

N... Von 16^h 26^m22 bis 17^h 28^m15 mehrere Anschwellungen;

Max. 16^h 27^m60, A_m 1·6 mm.

V... Mikroseismisch unruhig;

E... » »

Nr. 247. 4. Dezember 1902:

<> N... B. 1^h 2^m00; Max. 1^h 14^m11 bis 1^h 22^m04, A_m 1·9 mm;
E. 1^h 53^m09.

V... Tagsüber mikroseismisch unruhig.

E... Von 1^h 8^m00 bis 1^h 35^m84 Anschwellung, A_m 1·2 mm.

Nr. 248. 4. Dezember 1902:

<> N... B. 2^h 5^m71; Max. 2^h 13^m69, A_m 1·8 mm;
E. 2^h 35^m37.

V... Tagsüber mikroseismisch unruhig.

E... Schwache Unruhe.

Nr. 249. 8. Dezember 1902:

(> N... B. 19^h 17^m99; Max. 19^h 22^m00, A_m 1·5 mm;
E. bei 20^h.

V... Mikroseismisch bewegt.

E... » »

Nr. 250. 13. Dezember 1902:

> N... B. 0^h 32^m54; M_1 0^h 33^m36, A_1 4·5 mm;

M_2 0^h 42^m96, A_2 3·8 mm;

Max. 0^h 55^m14, A_m 8·0 mm;

M_4 1^h 8^m99, A_4 5·0 mm;

M_5 1^h 22^m68, A_5 4·5 mm;

folgt eine Reihe schwächerer Stöße mit A_m 2·2 mm;

E. 2^h 6^m52.

V... B. 0^h 31^m98; M_1 0^h 32^m80, A_1 2·3 mm;

Max. 0^h 35^m66, A_m 3·0 mm;

folgt eine Reihe fast gleich starker Stöße mit

A 2·0 mm bis 1^h 14^m17; E. 1^h 56^m63. . . Mikro-

seismische Unruhe vor und nach der Störung.

E... Tagsüber mikroseismisch bewegt.

Nr. 251. 13. Dezember 1902:

> N... B. und E. infolge mikroseismischer Bewegungen nicht angebar;

	M_1	18 ^h 26 ^m 46,	A_1	10·0 mm;
	M_2	18 ^h 29 ^m 20,	A_2	8·7 mm;
	M_3	18 ^h 37 ^m 68,	A_3	5·1 mm;
	M_4	18 ^h 48 ^m 64,	A_4	4·8 mm;
	Max.	18 ^h 52 ^m 63,	A_m	11·2 mm;
	M_6	18 ^h 57 ^m 97,	A_6	7·3 mm;
	M_7	19 ^h 5 ^m 93,	A_7	4·0 mm;
	M_8	19 ^h 16 ^m 12,	A_8	3·6 mm;
	M_9	19 ^h 40 ^m 48,	A_9	2·5 mm.
V	Max.	18 ^h 26 ^m 71,	A_m	9·0 mm;
	M_2	18 ^h 38 ^m 91,	A_2	4·5 mm;
	M_3	18 ^h 54 ^m 11,	A_3	4·4 mm;
	M_4	19 ^h 1 ^m 25,	A_4	3·6 mm;
	M_5	19 ^h 29 ^m 46,	A_5	3·5 mm;
	M_6	19 ^h 42 ^m 95,	A_6	2·5 mm.
E...	M_1	18 ^h 27 ^m 70,	A_1	2·0 mm;
	Max.	18 ^h 32 ^m 08,	A_m	2·2 mm;
	M_3	18 ^h 43 ^m 73,	A_3	1·4 mm.

Nr. 252. 15. Dezember 1902:

> N... B. 4^h 46^m 84; M_1 4^h 48^m 33, A_1 2·6 mm;
 Max. 4^h 49^m 28, A_m 4·4 mm;
 M_3 4^h 54^m 88, A_3 3·8 mm;
 E. 5^h 19^m 43.

Mikroseismische Unruhe folgt.

V... Tagsüber starke mikroseismische Bewegung.

E... Vor- und nachher mikroseismische Unruhe.

B. 4^h 47^m 25; Max. 4^h 48^m 88, A_m 2·4 mm;

E. 5^h 3^m 88.

Nr. 253. 16. Dezember 1902:

(> N... B. 6^h 14^m27; M_1 6^h 18^m69, A_1 2·6 mm;
 M_2 6^h 22^m43, A_2 6·0 mm;
 M_3 6^h 27^m67, A_3 10·5 mm;
 M_4 6^h 37^m91, A_4 25·2 mm;
 M_5 6^h 41^m50, A_5 25·2 mm;
 M_6 6^h 44^m55, A_6 10·5 mm;

hierauf bis 7^h 12^m34 eine Reihe fast gleich starker
 Stöße mit A_m 8·0 mm; folgt eine Zunahme
 der Bewegung, worunter:

M_7 7^h 19^m11, A_7 19·0 mm;

hierauf Abnahme mit

M_8 7^h 30^m44, A_8 5·8 mm;

M_9 7^h 43^m58, A_9 2·5 mm;

E. unbestimmbar.

V... Tagsüber starke mikroseismische Bewegung. Zu
 entnehmen wären nachfolgende Maxima der seis-
 mischen Störung:

M_1 6^h 27^m38, A_1 9·5 mm;

M_2 6^h 34^m43, A_2 2·0 mm;

M_3 6^h 40^m11, A_3 8·5 mm;

Max. 6^h 49^m79, A_m 11·5 mm;

M_5 6^h 58^m36, A_5 8·2 mm;

M_6 7^h 6^m38, A_6 9·0 mm;

M_7 7^h 18^m82, A_7 4·5 mm.

E... B. unbestimmbar; M_1 6^h 17^m88, A_1 2·1 mm;

M_2 6^h 22^m44, A_2 2·8 mm;

Max. 6^h 32^m80, A_m 5·4 mm;

M_4 6^h 42^m91, A_4 4·0 mm;

M_5 7^h 6^m13, A_5 2·2 mm;

E. 7^h 44^m84.

Nr. 254. 16. Dezember 1902:

- <> N... B. 16^h 20^m61; Max. 16^h 39^m97, A_m 2·4 mm;
 E. unbestimmbar.
 V... Starke mikroseismische Unruhe.
 E... Sehr schwache mikroseismische Unruhe.

Nr. 255. 17. Dezember 1902:

- (> N... B. 6^h 24^m52; Max. 6^h 25^m91, A_m 1·7 mm;
 E. 6^h 55^m43.
 V... Starke mikroseismische Unruhe.
 E... Sehr schwache mikroseismische Unruhe.

Nr. 256. 19. Dezember 1902:

- <> N... B. 16^h 3^m46; Max. 16^h 16^m26, A_m 1·7 mm;
 E. 16^h 57^m34.
 V... Ziemlich stark mikroseismisch unruhig.
 E... Schwach mikroseismisch bewegt.

Nr. 257. 21. Dezember 1902:

- <> N... B. 0^h 26^m01; M_1 0^h 30^m40, A_1 1·4 mm;
 Max. 0^h 44^m37, A_m 6·2 mm;
 E. 1^h 22^m45.
 V... B. 0^h 26^m00; Max. 0^h 45^m18, A_m 2·2 mm;
 E. 1^h 27^m63.
 E... Sehr schwache Anschwellung; von 0^h 24^m38 bis
 1^h 13^m69, A_m 1·0 mm.

Nr. 258. 22. Dezember 1902:

- (> N... B. 21^h 6^m26; Max. 21^h 7^m09, A_m 1·4 mm;
 E. 21^h 55^m62.
 V... B. 21^h 6^m53; Max. 21^h 8^m61, A_m 1·0 mm
 E. 21^h 58^m10.
 E... Kontinuierlich schwache Unruhe.

Nr. 259. 23. Dezember 1902:

Beim *N*-Pendel bei 23^h eine Verdickung mit A_m 2·3 *mm* bemerkbar.

Nr. 260. 27. Dezember 1902:

(> *N*... B. 14^h 22^m66; Max. 14^h 38^m25, A_m 2·0 *mm*;
E. 15^h 6^m11.

V... Stärker mikroseismisch bewegt.

E... Schwache mikroseismische Unruhe.

Nr. 261. 28. Dezember 1902:

(> *N*... B. 2^h 58^m55; M_1 3^h 0^m74, A_1 1·3 *mm*;
 M_2 3^h 3^m87, A_2 1·8 *mm*;
 M_3 3^h 7^m84, A_3 4·5 *mm*;

Aufzeichnung wird undeutlich, $A_m > 9·0$; wieder sichtbar

M_4 3^h 36^m96, A_4 4·5 *mm*;

bei 3^h 40^m92 gelangt das Pendel fast zur Ruhe
Setzen sofort neue Bewegungen ein mit
 A_m 2·5 *mm* bis 4^h 8^m10; hierauf schwächere
Stöße mit A_m 1·5 *mm* bis 4^h 24^m66; *E*. unbestimmbar.

V... Mikroseismisch bewegt.

E... » »

Nr. 262. 30. Dezember 1902:

(> *N*... B. 6^h 11^m26; M_1 6^h 16^m59, A_1 1·2 *mm*;
 M_2 6^h 25^m06, A_2 2·5 *mm*;
 M_3 6^h 26^m15, A_3 2·8 *mm*;
 M_4 6^h 28^m21, A_4 6·0 *mm*;

Max. 6^h 31^m49, A_m 10·7 *mm*;

M_6 6^h 40^m90, A_6 4·3 *mm*;

M_7 6^h 48^m42, A_7 3·4 *mm*; *E*. 7^h 20^m68.

V... Tagsüber mikroseismische Unruhe.

E... » » »

Nr. 263. 30. Dezember 1902:

N... Zwischen 22^h20^m64 und 23^h22^m28 mehrere Anschwellungen;

M_1 22^h21^m86, A_1 1·0 *mm*;

M_2 22^h27^m38, A_2 1·5 *mm*;

M_3 22^h32^m97, A_3 1·3 *mm*;

M_4 22^h57^m63, A_4 1·2 *mm*.

V... Andauernde mikroseismische Unruhe

E... » » » »

Nr. 264. 31. Dezember 1902:

> *N...* B. 9^h53^m75; Max. 9^h56^m24, A_m 4·8 *mm*;
E. 10^h33^m56.

V... B. 9^h53^m33; Max. 9^h57^m60, A_m 4·2 *mm*;
E. 10^h31^m34. Folgt leichte Unruhe.

E... Tagsüber starke mikroseismische Bewegung.

Die hier mitgeteilten 264 Störungen des Jahres 1902 verteilen sich auf die einzelnen Monate folgendermaßen:

Jänner.....	19
Februar.....	23
März.....	27
April.....	21
Mai.....	18*
Juni.....	19
Juli.....	26
August.....	38
September.....	20
Oktober.....	17
November.....	17*
Dezember.....	19

Schon hier läßt sich ganz deutlich eine regelmäßige Verteilung im Laufe des Jahres erkennen; wir finden eine doppelte jährliche Periode mit den Maxima der Häufigkeit im März und August und den Minima im Mai und November.

Vereinigen wir diese Beobachtungen mit denen der früheren Jahre, so ergibt sich aus sämtlichen 865 Aufzeichnungen nachfolgende jährliche Periode der Häufigkeit, wobei zu bemerken ist, daß für die Monate September bis Dezember fünf Beobachtungsjahre zur Verfügung stehen, für die übrigen Monate vier Jahre.

Jährlicher Gang der Häufigkeit der Erdbebenstörungen.

	Mittleres Jahr	Monate gleicher Länge 30·42 Tage
Jänner	14·8	14·5
Februar	16·5	17·9
März	16·5	16·2
April	14·0	14·2*
Mai	14·8	14·5
Juni	16·5	16·7
Juli	19·3	18·9
August	22·8	22·4
September	19·4	19·7
Oktober	16·2	15·9
November	15·2	15·4
Dezember	14·2	13·9*

Für ein mittleres Jahr resultieren demnach 200 Störungen, also durchschnittlich mindestens jeden zweiten Tag eine Aufzeichnung.

Der jährliche Gang, in Form einer doppelten Periode, ist in der letzten Kolumne deutlich ersichtlich.

Aus diesen Werten wurde für die tägliche Periode der Häufigkeit der Erdbebenaufzeichnungen nachfolgende Sinusgleichung berechnet:

$$y = 16·68 + 2·267 \sin(242^\circ 7' + x·30^\circ) \\ + 2·467 \sin(23^\circ 17' + x·60^\circ),$$

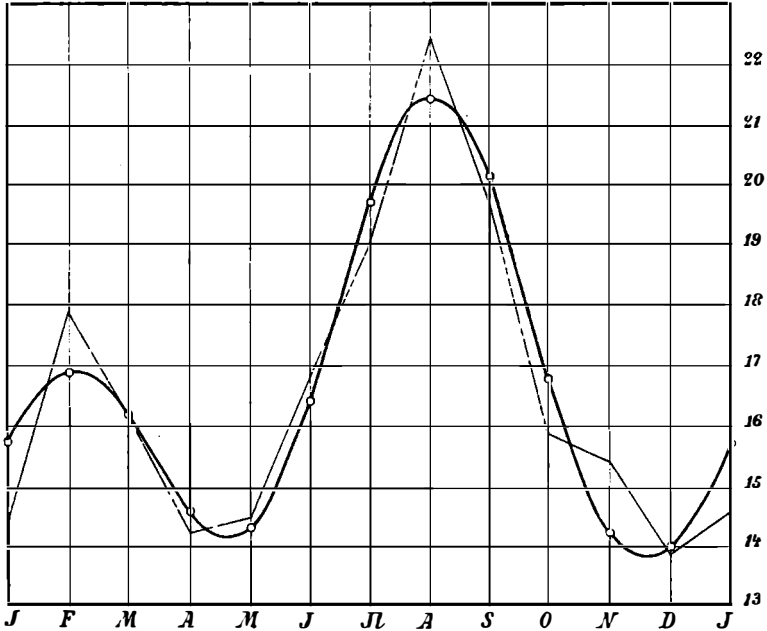
wobei $x = 0$ für Mitte Jänner und $x = 11$ für Mitte Dezember zu setzen ist und die zur Bestimmung der Amplitude und der Phasenzeiten gefundenen Koeffizienten mit

$$\begin{aligned}
 a_1 &= -2.004, & a_2 &= +0.975, \\
 b_1 &= -1.060, & b_2 &= +2.266
 \end{aligned}$$

resultieren.

Der aus dieser Gleichung berechnete jährliche Gang ist nachfolgender:

Jänner	15.65	-1.03
Februar	16.87	+0.19
März	16.23	-0.45
April	14.64	-2.04
Mai	14.31*	-2.37*
Juni	16.41	-0.27
Juli	19.66	+2.98
August	21.40	+4.72
September	20.07	+3.39
Oktober	16.77	+0.09
November	14.15	-2.53
Dezember	14.00*	-2.68*



~ Aus den Beobachtungen

~ Aus der Gleichung

In der Textfigur sind die zuerst erhaltenen Werte für Monate gleicher Länge gestrichelt und die aus der obigen Gleichung bestimmten durch die ganz ausgezogene Kurve dargestellt.

Die Maxima fallen auf den Februar und August, die Minima auf den Mai und Dezember. Das Frequenzmaximum des August ist bedeutend größer als das des Februar, 21 gegen 17 Störungen.

